

(19)



**Евразийское
патентное
ведомство**

(11) **043828**

(13) **B1**

(12) ОПИСАНИЕ ИЗОБРЕТЕНИЯ К ЕВРАЗИЙСКОМУ ПАТЕНТУ

(45) Дата публикации и выдачи патента
2023.06.27

(51) Int. Cl. **A61K 31/712** (2006.01)
C12N 15/113 (2010.01)

(21) Номер заявки
202091695

(22) Дата подачи заявки
2019.01.11

(54) АНТИСМЫСЛОВЫЕ ОЛИГОНУКЛЕОТИДЫ, НАЦЕЛЕННЫЕ НА АЛЬФА-СИНУКЛЕИН, И ИХ ПРИМЕНЕНИЕ

(31) 62/616,937

(32) 2018.01.12

(33) US

(43) 2021.02.08

(86) PCT/US2019/013249

(87) WO 2019/140231 2019.07.18

(71)(73) Заявитель и патентовладелец:
**БРИСТОЛ-МАЕРС СКВИББ
КОМПАНИ (US); РОШЕ
ИННОВЕЙШН СЕНТЕР
КОПЕНГАГЕН А/С (DK)**

(72) Изобретатель:
**Олсон Ричард Е., Какасе Анджела М.,
Мереди, м.л., Джери Е., Девидзе Нино,
Лой Джеймс К., Болдик Карл Дж.,
Пендри Аннапуерна, Макдональд
Айвар М. (US), Хагедорн Питер,
Дженсен Марианне Лербех (DK)**

(74) Представитель:
**Гизатуллин Ш.Ф., Глухарёва А.О.,
Строкова О.В., Угрюмов В.М. (RU)**

(56) WO-A2-2012068405

GRUNWELLER A. ET AL.: "Locked nucleic acid oligonucleotides: The next generation of antisense agents?", BIOD, ADIS INTERNATIONAL LTD, NZ, vol. 21, № 4, 1 January 2007 (2007-01-01), p. 235-243, XP009125276, ISSN: 1173-8804

UEHARA T. ET AL.: "Antisense oligonucleotides containing amido-bridged nucleic acid reduce SNCA expression and improve motor function in Parkinson's disease animal models", JOURNAL OF NEUROLOGICAL SCIENCES, vol. 381, 1 October 2017 (2017-10-01), p. 1044-1045, XP085296251, ISSN: 0022-510X, DOI: 10.1016/J.JNS.2017.08.2950

DIANA ALARCON-ARIS ET AL.: "Selective [alpha]-Synuclein Knockdown in Monoamine Neurons by Intranasal Oligonucleotide Delivery: Potential Therapy for Parkinson's Disease", MOLECULAR THERAPY : THE JOURNAL OF THE AMERICAN SOCIETY OF GENE THERAPY, vol. 26, № 2, 29 November 2017 (2017-11-29), p. 550-567, XP055567523, US, ISSN: 1525-0016, DOI: 10.1016/j.ymthe.2017.11.015

(57) Изобретение относится к антисмысловым олигонуклеотидам, которые нацелены на мРНК SNCA (например, на место соединения интрона-экзона) в клетке, что приводит к снижению экспрессии белка SNCA. Снижение экспрессии белка SNCA является полезным для лечения некоторых заболеваний, например неврологического нарушения.

B1

043828

043828

B1

Ссылка на перечень последовательностей, представленный в электронной форме

Содержимое перечня последовательностей th2019e, представленного в электронной форме (имя: 3338_107PC01_SequenceListing_ST25.txt, размер: 10458 байт; и дата создания: 10 января 2019 г.), представленного в настоящей заявке, полностью включено в настоящий документ посредством ссылки.

Область техники, к которой относится изобретение

Настоящее изобретение относится к антисмысловому олигомерному соединению (ASO), которое нацелено на место соединения интрона 1 и экзона 2 транскрипта альфа-синуклеина (SNCA) в клетке, что приводит к снижению экспрессии белка альфа-синуклеина (SNCA). Снижение экспрессии белка SNCA может быть полезным для целого ряда заболеваний, таких как множественная системная атрофия, болезнь Паркинсона, деменция при болезни Паркинсона (PDD) и деменция с тельцами Леви.

Предпосылки создания изобретения

Альфа-синуклеин (SNCA), член семейства белков синуклеинов, представляет собой небольшой растворимый белок, который экспрессируется преимущественно в нервных тканях. См. Marques O. et al., Cell Death Dis., 19: e350 (2012). Он экспрессируется во многих типах клеток, но преимущественно локализован в пресинаптических окончаниях нейронов. Хотя точная функция еще полностью не выяснена, было выдвинуто предположение о том, что SNCA играет важную роль в регулировании синаптической передачи. Например, SNCA действует в качестве молекулярного шаперона в образовании комплексов SNARE, которые опосредуют докинг синаптических везикул с пресинаптическими мембранами нейронов. SNCA также может взаимодействовать с другими белками, такими как тау-белок, ассоциированный с микротрубочками, который помогает стабилизировать микротрубочки и регулировать везикулярный транспорт.

Из-за роли SNCA в регулировании синаптической передачи, изменения экспрессии и/или функции SNCA могут нарушать важные биологические процессы. Считается, что такие нарушения способствуют α -синуклеинопатиям, которые представляют собой нейродегенеративные заболевания, характеризующиеся аномальным накоплением белковых агрегатов SNCA в головном мозге.

Соответственно нерастворимые включения неправильно свернутого, агрегированного и фосфорилированного белка SNCA являются патологическим признаком таких заболеваний, как болезнь Паркинсона (PD), деменция при болезни Паркинсона (PDD), деменция с тельцами Леви (DLB) и множественная системная атрофия (MSA). См. Galvin J.E. et al., Archives of Neurology, 58: 186-190 (2001); и Valera E. et al., J. Neurochem., 139 Suppl 1: 346-352 (Oct. 2016).

α -Синуклеинопатии, такие как болезнь Паркинсона, являются широко распространенными прогрессирующими нейродегенеративными заболеваниями головного мозга, особенно среди пожилых людей. См. Recchia A. et al., FASEB J., 18: 617-26 (2004). Согласно оценкам, приблизительно 7-10 млн человек во всем мире живут с такими нарушениями, при этом только в США регистрируется ежегодно около 60000 новых случаев заболевания. Расходы на лечение для отдельного человека могут легко превысить 2500 долларов в год, а терапевтическая хирургическая операция может стоить до 100000 долларов на пациента. Таким образом, крайне необходимы более надежные и экономически эффективные варианты лечения.

Краткое описание изобретения

Настоящее изобретение относится к антисмысловому олигонуклеотиду (ASO), содержащему, состоящему по существу или состоящему из непрерывной нуклеотидной последовательности AtTsccttaccacACAC (SEQ ID NO: 4), где заглавная буква представляет собой бета-D-окси-LNA, а строчная буква представляет собой ДНК. В других вариантах осуществления ASO содержит межнуклеотидную связь, выбранную из группы, состоящей из фосфодиэфирной связи, фосфотриэфирной связи, метилфосфонатной связи, фосфорамидатной связи, фосфоротиоатной связи и их комбинаций. В некоторых вариантах осуществления межнуклеотидная связь представляет собой фосфоротиоатную связь.

В некоторых вариантах осуществления ASO содержит, состоит по существу или состоит из OxyAs DNAts OxyTs DNACs DNACs DNAts DNAts DNAts DNAAs DNACs DNAAs DNACs DNACs OxyAs OxyMCs OxyAs OxyMC, где OxyA, OxyT и OxyMC представляют собой бета-D-окси-LNA, содержащий аденин, бета-D-окси-LNA, содержащий тимин, и бета-D-окси-LNA, содержащий метилцитозин, соответственно, и где DNAt, DNAC и DNAa представляют собой тимин ДНК, цитозин ДНК и аденин ДНК соответственно. В некоторых вариантах осуществления ASO по настоящему изобретению имеет молекулярную формулу $C_{171}H_{214}N_{56}O_{90}P_{16}S_{16}$ и структуру, показанную на фиг. 1B, где M^+ представляет собой противоион. В некоторых вариантах осуществления противоион выбран из группы, состоящей из H^+ , Na^+ , NH_4^+ , и любой их комбинации. В определенных вариантах осуществления противоион представляет собой Na^+ .

Настоящее изобретение также обеспечивает конъюгат, содержащий ASO, как раскрыто в настоящем документе, где ASO ковалентно присоединен по меньшей мере к одному нуклеотидному или полинуклеотидному фрагменту. В некоторых вариантах осуществления не-нуклеотидный или полинуклеотидный фрагмент содержит белок, цепь жирной кислоты, сахарный остаток, гликопротеин, полимер или любые их комбинации.

Также в настоящем документе обеспечена фармацевтическая композиция, содержащая ASO или

конъюгат, как описано в настоящем документе, и фармацевтически приемлемый носитель. В некоторых вариантах осуществления композиция, кроме того, содержит терапевтическое средство. В определенных вариантах осуществления терапевтическое средство представляет собой антагонист альфа-синуклеина. В некоторых вариантах осуществления антагонист альфа-синуклеина представляет собой антитело против альфа-синуклеина или его фрагмент.

Настоящее изобретение дополнительно обеспечивает набор, содержащий ASO, конъюгат или композицию, как раскрыто в настоящем документе. Также раскрыт диагностический набор, содержащий ASO, конъюгат или композицию по настоящему изобретению.

Настоящее изобретение также относится к способу ингибирования или снижения экспрессии белка SNCA в клетке, при этом способ включает введение ASO, конъюгата или композиции, как раскрыто в настоящем документе, в клетку, экспрессирующую белок SNCA, при этом экспрессия белка SNCA в клетке ингибируется или уменьшается после введения. В некоторых вариантах осуществления ASO ингибирует или снижает экспрессию мРНК SNCA в клетке после введения. В некоторых вариантах осуществления экспрессия мРНК SNCA снижается по меньшей мере примерно на 20%, по меньшей мере примерно на 30%, по меньшей мере примерно на 40%, по меньшей мере примерно на 50%, по меньшей мере примерно на 60%, по меньшей мере примерно на 70%, по меньшей мере примерно на 80%, по меньшей мере примерно на 90% или примерно на 100% после введения по сравнению с клеткой, не подвергшейся воздействию ASO. В других вариантах осуществления ASO снижает экспрессию белка SNCA в клетке после введения по меньшей мере примерно на 60%, по меньшей мере примерно на 70%, по меньшей мере примерно на 80% или по меньшей мере примерно на 90% по сравнению с клеткой, не подвергшейся воздействию ASO. В некоторых вариантах осуществления клетка представляет собой нейрон.

В настоящем документе обеспечен способ лечения синуклеинопатии у субъекта, нуждающегося в этом, включающий введение эффективного количества ASO, конъюгата или композиции по настоящему изобретению. В некоторых вариантах осуществления синуклеинопатия выбрана из группы, состоящей из болезни Паркинсона, деменции при болезни Паркинсона (PDD), множественной системной атрофии, деменции с тельцами Леви и любых их комбинаций.

Также в настоящем документе предлагается применение ASO, конъюгата или композиции по настоящему изобретению для изготовления лекарственного средства. Настоящее изобретение также обеспечивает применение ASO, конъюгата или композиции для изготовления лекарственного средства для лечения синуклеинопатии у субъекта, нуждающегося в этом. В некоторых вариантах осуществления ASO, конъюгаты или композиция по настоящему изобретению предназначены для применения в терапии синуклеинопатии у субъекта, нуждающегося в этом. В других вариантах осуществления ASO, конъюгаты или композиция по настоящему изобретению предназначены для применения в терапии.

В некоторых вариантах осуществления субъектом является человек. В некоторых вариантах осуществления ASO, конъюгаты или композиции вводят перорально, парентерально, интратекально, интрацеребровентрикулярно, пульмонально, местно или интравентрикулярно.

Краткое описание фигур

На фиг. 1А показана непрерывная нуклеотидная последовательность ASO-005459. ОхуА, ОхуТ и ОхуМС представляют собой, соответственно, бета-D-окси-LNA, содержащий аденин, бета-D-окси-LNA, содержащий тимин, и бета-D-окси-LNA, содержащий метилцитозин; DNAt, DNAc и DNAa представляют собой, соответственно, тимин ДНК, цитозин ДНК и аденин ДНК; и s представляет собой фосфоротиоатную связь.

На фиг. 1В показана молекулярная структура ASO-005459, как раскрыто в настоящем документе. Представленная структура имеет молекулярную формулу $C_{171}H_{214}N_{56}O_{90}P_{16}S_{16}$, и каждый из M^+ представляет собой фармацевтически приемлемый противоион, такой как H^+ , Na^+ или NH_4^+ .

На фиг. 2А и 2В показан эффект ASO-005459 на экспрессию белка SNCA и тубулина (Tub) в первичных нейронах, выделенных из трансгенных мышей A53T-PAC. Нейроны обрабатывали 10-точечным титрованием ASO-005459 и измеряли количество белка SNCA и тубулина. Показано процентное ингибирование соотношения α -Syn/Tub (фиг. 2А) и уровни Tub (фиг. 2В). Каждая точка данных представляет отдельный повтор.

На фиг. 3 показан эффект ASO-005459 на уровень экспрессии мРНК SNCA (кружок), белка S (альфа) (PROS1 (квадрат)) и тубулина (TUBB3 (треугольник)) в нейронах человека. Нейроны обрабатывали различными концентрациями ASO-005459 в течение 6 дней, а затем измеряли уровни мРНК с помощью анализа QUANTIGENE®. Уровень экспрессии мРНК показан в виде процента от контроля. Показанные данные представляют среднее значение \pm стандартное отклонение (SD) в результате повторных определений.

На фиг. 4 показаны уровни экспрессии мРНК SNCA в гиппокампе мышей A53T-PAC через три дня после введения ICV 100 мкг ASO-005459 (открытый квадрат) или контрольного носителя (замкнутый круг). Уровни экспрессии мРНК SNCA измеряли с помощью qRT-PCR, нормализовали на уровни мРНК GAPDH и затем выражали относительно среднего уровня экспрессии в группе, получавшей носитель. Горизонтальная линия маркирует эталонное значение, равное 1 (т.е. значение, при котором экспрессия

мРНК SNCA будет эквивалентна уровню экспрессии, наблюдаемому в контрольной группе, получавшей носитель). Показанные данные представляют собой среднее значение \pm SD в результате повторного определения. Статистический анализ проведен с помощью одностороннего теста ANOVA с последующим тестом Даннетта. *** $p < 0,001$.

На фиг. 5A и 5B показано сравнение средней массы тела мышей, обработанных ASO-005459. На фиг. 5A мышам A53T-PAС вводили дозу, равную 3,13, 12,5, 25 или 50 мкг ASO-005459, и измеряли их массу тела через 0, 1 и 2 недели после обработки. На фиг. 5B мышам C57BL/6 вводили дозу, равную 100 мкг ASO-005459, и массу тела животных измеряли один раз в неделю на протяжении 28-дневного курса. На обеих фиг. 5A и 5B животных, получавших контрольный носитель, использовали в качестве контролей. Показанные данные представляют среднее значение \pm SD от нескольких животных ($n=5$). Статистический анализ проведен с помощью двухстороннего теста ANOVA.

На фиг. 6A, 6B и 6C показаны уровни экспрессии мРНК SNCA в гиппокампе (фиг. 6A), стволе мозга (фиг. 6B) и полосатом теле (фиг. 6C) мышей A53T-PAС через 14 дней после введения ICV ASO-005459 (3,13, 12,5, 25 или 50 мкг) или контрольного носителя. Уровни мРНК SNCA измеряли с помощью qRT-PCR, нормализовали на уровни мРНК GAPDH и затем выражали относительно среднего значения в группе, получавшей носитель. Показанные данные представляют среднее значение \pm SD от нескольких животных ($n=5$). Каждый круг представляет отдельное животное. Горизонтальная линия маркирует эталонное значение, равное 1 (т.е. значение, при котором экспрессия мРНК SNCA будет эквивалентна уровню экспрессии, наблюдаемому в контрольной группе, получавшей носитель). Статистический анализ проведен с помощью одностороннего теста ANOVA с последующим тестом Даннетта. *** $p < 0,001$.

На фиг. 7 показан уровень ASO-005459, детектируемый в гиппокампе (черный), стволе мозга (светло-серый) и полосатом теле (темно-серый) у мышей A53T-PAС через 14 дней после обработки ASO-005459. Мыши получали 3,13, 12,5, 25 или 50 мкг ASO-005459 посредством введения ICV. Показанные данные представляют среднее значение \pm SD от нескольких животных ($n=5$).

На фиг. 8A, 8B, 8C и 8D показана взаимосвязь между уровнями воздействия ASO-005459 и экспрессией мРНК SNCA в гиппокампе (фиг. 8A), стволе мозга (фиг. 8B) и полосатом теле (фиг. 8C) мышей A53T-PAС через 14 дней после обработки ASO-005459. На фиг. 8D показаны данные для гиппокампа (круг), ствола мозга (квадрат) и полосатого тела (треугольник) в комбинации. Каждая точка данных представляет отдельное животное. Четырехпараметрическая, нелинейная подгонка показана для гиппокампа (фиг. 8A) и ствола мозга (фиг. 8B).

На фиг. 9A и 9B показана кривая зависимости доза-ответ, показывающая эффект ASO-005459 на уровень экспрессии мРНК SNCA у мышей A53T-PAС. Животные получали (посредством инъекции ICV) 12,5 мкг (кружок), 25 мкг (квадрат) или 50 мкг (треугольник) ASO-005459 и были умерщвлены через 24 ч, 3 дня, 4, 8, 12, 16 и 20 недель после введения доз. Уровни экспрессии мРНК SNCA в стволе головного мозга (фиг. 9A) и в полосатом теле (фиг. 9B) оценивали с помощью qRT-PCR и затем нормализовали к контрольному носителю. Показаны средние значения. Горизонтальная линия маркирует эталонное значение, равное 100% (т.е. значение, при котором экспрессия мРНК SNCA будет эквивалентна уровню экспрессии, наблюдаемому в контрольной группе, получавшей носитель).

На фиг. 10A и 10B показан эффект ASO-005459 на уровень экспрессии мРНК SNCA у мышей A53T-PAС через 4 недели после введения ASO-005459. Животные получали либо контрольный носитель, либо различные концентрации ASO-005459 (12,5, 25 или 50 мкг). Относительный уровень экспрессии мРНК SNCA (нормализованный к контрольному носителю) показан для ствола мозга (фиг. 10A) и для полосатого тела (фиг. 10B). Каждая точка данных представляет отдельное животное. Также показано среднее значение \pm SD от нескольких животных. Статистический анализ проведен с помощью одностороннего теста ANOVA с поправкой Даннетта для множественных сравнений. Горизонтальная линия маркирует эталонное значение, равное 1 (т.е. величину, при которой экспрессия мРНК SNCA будет эквивалентна уровню экспрессии, наблюдаемому в контрольной группе, получавшей носитель). * $p < 0,05$, ** $p < 0,01$, *** $p < 0,001$, **** $p < 0,0001$.

На фиг. 11A и 11B показана кривая зависимости доза-ответ, показывающая эффект ASO-005459 на уровень экспрессии белка SNCA в тканях мозга мышей A53T-PAС. Животные получали (посредством инъекции ICV) 12,5 мкг (кружок), 25 мкг (квадрат) или 50 мкг (треугольник) ASO-005459 и были умерщвлены через 24 ч, 3 дня, 4, 8, 12, 16 и 20 недель после дозирования. Уровни белков SNCA измеряли как в стволе мозга (фиг. 11A), так и в полосатом теле (фиг. 11B) с помощью ELISA, а затем нормализовали к контрольному носителю. Показаны средние данные. Горизонтальная линия маркирует эталонное значение, равное 100% (т.е. значение, при котором экспрессия мРНК SNCA будет эквивалентна уровню экспрессии, наблюдаемому в контрольной группе, получавшей носитель).

На фиг. 12A и 12B показан эффект ASO-005459 на уровень экспрессии белка SNCA у мышей A53T-PAС через 8 недель после введения ASO-005459. Животные получали либо контрольный носитель, либо различные концентрации ASO-005459 (12,5, 25 или 50 мкг). Относительные уровни экспрессии белка SNCA (нормализованные к контролю носителем) показаны для ствола головного мозга (фиг. 12A) и для стриатумы (фиг. 12B). Каждая точка данных представляет отдельное животное. Горизонтальная

линия маркирует эталонное значение, равное 100% (т.е. значение, при котором экспрессия мРНК SNCA будет эквивалентна уровню экспрессии, наблюдаемому в контрольной группе, получавшей носитель). Также показано среднее значение \pm SD от нескольких животных. Статистический анализ проведен с помощью одностороннего теста ANOVA с поправкой Даннетта для множественных сравнений.

На фиг. 13A и 13B показана кинетика уровней экспрессии мРНК SNCA и белка SNCA у яванских макаков после введения ASO-005459. Каждое из животных получало либо контрольный носитель, либо ASO-005459 (8 мг) и затем их умерщвляли через 24 ч, 3 дня, 2, 4, 8, 13 или 20 недель после введения дозы. В каждый момент времени уровни экспрессии мРНК SNCA (фиг. 13A) и белка SNCA (фиг. 13B) оценивали в следующих тканях: медулла (верхняя левая панель), дорсальный стриатум (верхняя средняя панель), варолиев мост (верхняя правая панель), мозжечок (нижняя левая панель), поясничный отдел спинного мозга позвоночника (нижняя средняя панель) и лобная доля (нижняя правая панель). Уровни экспрессии показаны в процентах от контрольного носителя. Показаны данные как для отдельных животных, так и среднее значение. Горизонтальная линия маркирует эталонное значение, равное 100% (т.е. значение, при котором экспрессия мРНК SNCA будет эквивалентна уровню экспрессии, наблюдаемому в контрольной группе, получавшей носитель).

На фиг. 14A и 14B показан относительный уровень экспрессии (в процентах от контрольного носителя) как для мРНК SNCA (фиг. 14A), так и для белка SNCA (фиг. 14B) у яванских макаков через 2 недели после введения ASO-005459. Животные получали контрольный носитель или различные концентрации ASO-005459 (2, 4 или 8 мг). Уровни экспрессии оценивали в следующих тканях: медулла (верхняя левая панель), дорсальный стриатум (верхняя средняя панель), варолиев мост (верхняя правая панель), мозжечок (нижняя левая панель), поясничный отдел спинного мозга позвоночника (нижняя средняя панель) и лобная доля (нижняя правая панель). Уровни экспрессии показаны в процентах от контрольного носителя. Показаны данные как для отдельных животных, так и среднее значение. Горизонтальная линия маркирует эталонное значение, равное 100% (т.е. значение, при котором экспрессия мРНК SNCA будет эквивалентна уровню экспрессии, наблюдаемому в контрольной группе, получавшей носитель).

Подробное описание изобретения

I. Определения.

Следует отметить, что термин относится к одному или нескольким объектам; например, под "нуклеотидной последовательностью" понимают одну или несколько нуклеотидных последовательностей. Таким образом, термины "один или несколько" и "по меньшей мере один" могут быть использованы в настоящем документе взаимозаменяемо.

Кроме того, термин "и/или" при использовании в настоящем документе следует понимать как конкретное раскрытие каждого из двух указанных признаков или компонентов с другим или без него. Таким образом, предполагается, что термин "и/или", используемый во фразе, такой как "А и/или В", включает "А и В", "А или В", "А" (по отдельности) и "В" (по отдельности). Аналогично термин "и/или", используемый во фразе, такой как "А, В и/или С", предназначен для охвата каждого из следующих аспектов: А, В и С; А, В или С; А или С; А или В; В или С; А и С; А и В; В и С; А (по отдельности); В (по отдельности); и С (по отдельности).

Понятно, что везде, где аспекты описаны в настоящем документе с помощью термина "содержащий", возможно их альтернативное аналогичное описание с использованием терминов "состоящий из" и/или "состоящий в основном из".

Если не указано иное, все технические и научные термины, используемые в настоящем документе, имеют то же значение, которое обычно понимается специалистами в данной области, к которой относится данное изобретение. Например, Concise Dictionary of Biomedicine and Molecular Biology, Juo, Pei-Show, 2nd ed., 2002, CRC Press; The Dictionary of Cell and Molecular Biology, 3rd ed., 1999, Academic Press; и the Oxford Dictionary Of Biochemistry And Molecular Biology, Revised, 2000, Oxford University Press, предоставляют специалисту общий словарь многих терминов, используемых в данном раскрытии.

Единицы измерения, префиксы и символы обозначены в их принятой форме Systeme International de Unites (SI). Числовые диапазоны включают числа, определяющие диапазон. Если не указано иное, нуклеотидные последовательности пишутся слева направо в 5'-3'-ориентации. Аминокислотные последовательности пишутся слева направо в ориентации amino-карбокси. Заголовки, приведенные в настоящем документе, не являются ограничениями различных аспектов раскрытия, которые могут быть сделаны со ссылкой на описание в целом. Соответственно термины, определенные непосредственно ниже, более полно определены посредством ссылки на описание в целом.

Термин "примерно" используется в настоящем документе в значении приблизительно, грубо, около или в области. Если термин "примерно" используется в связи с числовым диапазоном, то он изменяет этот диапазон путем расширения его границ за пределы верхней и нижней границы указанного числового диапазона. Обычно термин "примерно" может изменять числовое значение выше и ниже указанного значения с отклонением, например, на 10% вверх или вниз (выше или ниже). Например, если указано, что "ASO снижает экспрессию белка SNCA в клетке после введения ASO по меньшей мере примерно на 60%", это подразумевает, что уровни SNCA снижаются на величину, находящуюся в диапазоне от 50 до 70%.

Термин "антисмысловой олигонуклеотид" (ASO) относится к олигомеру или полимеру нуклеози-

дов, таких как встречающиеся в природе нуклеозиды или их модифицированные формы, которые ковалентно связаны друг с другом через межнуклеотидные связи. ASO, полезный для изобретения, включает по меньшей мере один не встречающийся в природе нуклеозид. ASO является комплементарным нуклеиновой кислоте-мишени, таким образом, что ASO гибридизуется с последовательностью нуклеиновой кислоты-мишени. Термины "антисмысловой ASO", "ASO" и "олигомер", используемые в настоящем документе, являются взаимозаменяемыми с термином "ASO".

Термин "нуклеиновые кислоты" или "нуклеотиды" предназначен для охвата множества нуклеиновых кислот. В некоторых вариантах осуществления термин "нуклеиновые кислоты" или "нуклеотиды" относится к последовательности-мишени, например, пре-мРНК, мРНК или ДНК *in vivo* или *in vitro*. Когда термин относится к нуклеиновым кислотам или нуклеотидам в последовательности-мишени, нуклеиновые кислоты или нуклеотиды могут быть встречающимися в природе последовательностями внутри клетки. В других вариантах осуществления "нуклеиновые кислоты" или "нуклеотиды" относятся к последовательности в ASO по изобретению. Когда термин относится к последовательности в ASO, нуклеиновые кислоты или нуклеотиды являются не встречающимися в природе, т.е. химически синтезированными, ферментативно продуцированными, рекомбинантно продуцированными или полученными с помощью любой их комбинации. В одном варианте осуществления нуклеиновые кислоты или нуклеотиды в ASO продуцированы синтетически или рекомбинантно, но не являются встречающейся в природе последовательностью или ее фрагментом. В другом варианте осуществления нуклеиновые кислоты или нуклеотиды в ASO являются не встречающимися в природе, так как они содержат по меньшей мере один аналог нуклеотида, который не является встречающимся в природе. Термин "нуклеиновая кислота" или "нуклеозид" относится к одному сегменту нуклеиновой кислоты, например, ДНК, РНК или их аналогу, присутствующему в полинуклеотиде. "Нуклеиновая кислота" или "нуклеозид" включает встречающиеся в природе нуклеиновые кислоты или не встречающиеся в природе нуклеиновые кислоты. В некоторых вариантах осуществления термины "нуклеотид", "звено" и "мономер" используются взаимозаменяемо. Будет понятно, что в отношении последовательности нуклеотидов или мономеров то, к чему они относятся, является последовательностью оснований, таких как А, Т, G, С или U, и их аналоги.

Используемый в настоящем документе термин "нуклеотид" относится к гликозиду, содержащему сахарную группу, основную группу и ковалентно связанную группу (связывающую группу), такую как фосфатная или фосфоротиоатная межнуклеотидная связывающая группа, и включает как встречающиеся в природе нуклеотиды, такие как ДНК или РНК, так и не встречающиеся в природе нуклеотиды, содержащие модифицированный сахар и/или основание. В настоящем документе один нуклеотид (звено) также может упоминаться как мономер или звено нуклеиновой кислоты.

Используемый в настоящем документе термин "нуклеозид" используется для обозначения гликозида, содержащего сахарную группу и основную группу, которые могут быть ковалентно связаны межнуклеотидными связями между нуклеозидами ASO. В области биотехнологии термин "нуклеозид" обычно используется для обозначения мономера или звена нуклеиновой кислоты. В контексте ASO термин "нуклеозид" может относиться только к взятому в отдельности основанию, т.е. к последовательности нуклеотидного основания, содержащей цитозин (ДНК и РНК), гуанин (ДНК и РНК), аденин (ДНК и РНК), тимин (ДНК) и урацил (РНК), где подразумевается наличие сахарного остова и межнуклеотидных связей. Аналогично, в частности, в случае олигонуклеотидов, где одна или несколько межнуклеотидных связывающих групп являются модифицированными, термин "нуклеотид" может относиться к "нуклеозиду". Например, термин "нуклеотид" может быть использован даже при указании на наличие или природу связей между нуклеозидами.

Специалисту в данной области будет понятно, что 5'-концевой нуклеотид олигонуклеотида не содержит 5'-межнуклеотидную связывающую группу, хотя может содержать 5'-концевую группу.

Термин "нижележащая" в отношении нуклеотидной последовательности означает, что нуклеиновая кислота или нуклеотидная последовательность расположена в направлении 3' от эталонной нуклеотидной последовательности. В некоторых вариантах осуществления нижележащие нуклеотидные последовательности относятся к последовательностям, которые следуют за точкой старта транскрипции. Например, кодон инициации трансляции гена расположен ниже сайта старта транскрипции.

Если не указано иное, последовательности, представленные в настоящем документе, перечислены от 5'-конца (слева) к 3'-концу (справа).

Термин "вышележащая" относится к нуклеотидной последовательности, которая расположена в направлении 5' от эталонной нуклеотидной последовательности.

Используемый в настоящем документе термин "транскрипт" относится к первичному транскрипту, полученному в результате транскрипции ДНК и после процессинга становится матричной РНК (мРНК), т.е. предшественником матричной РНК (пре-мРНК), и самой процессированной мРНК. Термин "транскрипт" может быть использован взаимозаменяемо с "пре-мРНК" и "мРНК". После того как нити ДНК транскрибируются в первичные транскрипты, вновь синтезированные первичные транскрипты модифицируют несколькими способами для преобразования в их зрелые функциональные формы, такие как мРНК, тРНК, рРНК, lncRNA, miRNA и другие. Таким образом, термин "транскрипт" может включать экзоны, интроны, 5' UTR и 3' UTR.

Используемый в настоящем документе термин "экспрессия" относится к процессу, посредством которого полинуклеотид продуцирует генный продукт, например, РНК или полипептид. Он включает, без ограничения, транскрипцию полинуклеотида в матричную РНК (мРНК) и трансляцию мРНК в полипептид. При помощи экспрессии получают "генный продукт". Используемый в настоящем документе генный продукт может представлять собой нуклеиновую кислоту, например, матричную РНК, полученную посредством транскрипции гена, или полипептид, который был транслирован с транскрипта. Описанные в настоящем документе генные продукты дополнительно включают нуклеиновые кислоты, прошедшие посттранскрипционные модификации, например, полиаденилирование или сплайсинг, или полипептиды, прошедшие посттрансляционные модификации, например, метилирование, гликозилирование, добавление липидов, объединение с другими белковыми субъединицами или протеолитическое расщепление.

Термин "встречающийся в природе вариант" полипептида SNCA относится к вариантам последовательности полипептида SNCA или последовательности нуклеиновой кислоты SNCA (например, транскрипт), которые существуют в природе в рамках определенной таксономической группы, такой как млекопитающие, такие как мышь, обезьяна и человек. В основном при использовании "встречающихся в природе вариантов" полинуклеотида SNCA термин также может включать любой аллельный вариант SNCA-кодирующей геномной ДНК, которая найдена в положении хромосомы 17q21 посредством хромосомной перестройки или дупликации, и РНК, такой как мРНК, полученной из нее. "Встречающиеся в природе варианты" также могут включать варианты, полученные в результате альтернативного сплайсинга мРНК SNCA. В отношении конкретной полипептидной последовательности, например, термин также включает встречающиеся в природе формы белка, которые, таким образом, могут подвергаться процессингу, например, посредством ко- или посттрансляционных модификаций, таких как отщепление сигнального пептида, протеолитическое расщепление, гликозилирование и т.д.

Используемый в настоящем документе термин "комплемент" обозначает последовательность, которая является комплементарной эталонной последовательности. Хорошо известно, что комплементарность является базовым принципом репликации ДНК и транскрипции, и это свойство присуще двум последовательностям ДНК или РНК, например, когда они совмещены и антипараллельны друг к другу, нуклеотидные основания в каждом положении в последовательностях будут комплементарными, напоминая взгляд в зеркало и наблюдая отражение вещей. Поэтому, например, комплемент последовательности 5' "ATGC" 3' может быть записан как 3' "TACG" 5' или 5' "GCAT" 3'. Термины "обратный комплемент", "обратно комплементарный" и "обратная комплементарность", используемые в настоящем документе, являются взаимозаменяемыми с терминами "комплемент", "комплементарный" и "комплементарность". Таким образом, последовательность 5' atctctttacaccasac 3' (SEQ ID NO: 4) может быть комплементарной 5' gtgtggtgtaaaggaat 3'.

Как используется в настоящем документе, ссылка на номер SEQ ID (т.е. SEQ ID NO: 4) включает конкретную нуклеотидную последовательность, но не включает какую-либо конструкцию или полную химическую структуру. Когда в данном описании делается ссылка на конкретный номер ASO (т.е. ASO-005459), ссылка включает последовательность, конкретную конструкцию ASO и химическую структуру.

"Активность" обычно выражается в виде значения IC_{50} или EC_{50} в мкМ, нМ или пМ, если не указано иное. Активность также может быть выражена в процентах ингибирования. IC_{50} представляет собой эту среднюю ингибирующую концентрацию терапевтической молекулы. EC_{50} представляет собой среднюю эффективную концентрацию терапевтической молекулы относительно носителя или контроля (например, солевого раствора). В функциональных анализах IC_{50} представляет собой концентрацию терапевтической молекулы, которая снижает биологический ответ, например, транскрипцию мРНК или экспрессию белка, на 50% от биологического ответа, который достигается терапевтической молекулой. В функциональных анализах EC_{50} представляет собой концентрацию терапевтической молекулы, которая вызывает 50% биологического ответа, например, транскрипцию мРНК или экспрессию белка. IC_{50} или EC_{50} могут быть рассчитаны любым количеством способов, известных в данной области.

Под "субъектом" или "индивидуумом", или "животным", или "пациентом", или "млекопитающим" подразумевается любой субъект, в частности субъект-млекопитающее, для которого желательна диагностика, прогноз или терапия. Субъекты-млекопитающие включают людей, домашних животных, сельскохозяйственных животных, спортивных животных и животных зоопарка, включая, например, людей, приматов, отличных от человека, собак, кошек, морских свинок, кроликов, крыс, мышей, лошадей, крупный рогатый скот, медведей и т.д.

Термин "фармацевтическая композиция" относится к препарату, который находится в такой форме, которая позволяет быть эффективной биологической активности активного ингредиента, и который не содержит дополнительных компонентов, являющихся неприемлемо токсичными для субъекта, которому будет введена композиция. Такая композиция может быть стерильной.

Раскрытое в настоящем документе "эффективное количество" ASO представляет собой количество, достаточное для осуществления конкретно заявленной цели. "Эффективное количество" может быть определено эмпирически и обычным способом в зависимости от заявленной цели.

Термины, такие как "лечебный" или "лечение", или "лечить", или "облегчение", или "облегчать" обозначают как (1) терапевтические меры, которые излечивают, замедляют, уменьшают симптомы и/или

останавливают прогрессирование диагностированного патологического состояния или нарушения, так и (2) профилактические или превентивные меры, которые предупреждают и/или замедляют развитие целевого патологического состояния или нарушения. Таким образом, те, кто нуждается в лечении, включают тех, кто уже имеет нарушение; тех, кто предрасположен к появлению нарушения; и тех, у кого нарушение предотвращается. В некоторых вариантах осуществления субъект получает успешное "лечение" заболевания или состояния, раскрытого в другом месте в настоящем документе, в соответствии со способами, представленными в настоящем документе, если пациент демонстрирует, например, полное, частичное или временное ослабление или устранение симптомов, связанных с заболеванием или нарушением.

II. ASO-005459.

ASO по настоящему изобретению (т.е. ASO-005459) содержит непрерывную нуклеотидную последовательность длиной 17 нуклеотидов, которая соответствует комплементу области (т.е. соединению между интроном 1 и экзоном 2) транскрипта SNCA, т.е. нуклеотидов 7604-7620 из SEQ ID NO: 1. ASO по изобретению имеет нуклеотидную последовательность, представленную в SEQ ID NO: 4 (т.е. attcctttacaccasac) с дизайном ASO LDLDDDDDDDDLLLL (т.е. AtTcctttacaccACAC), где L обозначает нуклеозид закрытой нуклеиновой кислоты (т.е. LNA, например, бета-D-окси-LNA), и D обозначает дезоксирибонуклеиновую кислоту (ДНК). Соответственно 1-, 3- и 14-17-й нуклеотиды с 5'-конца ASO-005459 представляют собой бета-D-окси-LNA, и каждый из других нуклеотидов представляет собой ДНК. Раскрытый в настоящем документе ASO также имеет следующую химическую структуру: OxyAs DNAts OxyTs DNACs DNACs DNAts DNAts DNAts DNAas DNACs DNAas DNACs DNACs OxyAs OxyMCs OxyAs OxyMC, где "s" обозначает фосфоротиоатную связь. Структурная формула для ASO-005459 представлена на фиг. 1B, где M⁺ представляет собой фармацевтически приемлемый противоион. Используемый в настоящем документе термин "фармацевтически приемлемый противоион" относится к иону, который сопровождает ионные формы для поддержания электрической нейтральности, которая не является биологически или иным образом нежелательной, и, таким образом, позволяет получать фармацевтически приемлемую солевую форму. Таким образом, в некоторых вариантах осуществления фармацевтически приемлемый противоион может представлять собой H⁺, Na⁺, K⁺, NH₄⁺, Li⁺ или любой другой катион с зарядом 1⁺. В некоторых вариантах осуществления фармацевтически приемлемый противоион представляет собой H⁺, Na⁺, NH₄⁺ и их комбинации.

Используемый в настоящем документе термин "фармацевтически приемлемые соли" относится к производным ASO-005459, где ASO-005459 модифицирован (например, добавление катиона, раскрытого в настоящем документе) путем получения его солей. Такие соли сохраняют желаемую биологическую активность ASO, не оказывая нежелательных токсикологических эффектов. ASO по изобретению может быть представлен в любой солевой форме. В некоторых вариантах осуществления ASO по изобретению находится в форме натриевой соли. В других вариантах осуществления ASO находится в форме калиевой соли.

ASO-005459 может связываться с местом соединения интрон1/экзон2 мРНК SNCA и предотвращать трансляцию мРНК SNCA. В некоторых вариантах осуществления из-за модификации сахара ASO по изобретению обладает аффинностью связывания с последовательностью-мишенью РНК, которая усиливается по меньшей мере на 5%, по меньшей мере на 10%, по меньшей мере на 20%, по меньшей мере на 30%, по меньшей мере на 40%, по меньшей мере на 50%, по меньшей мере на 60%, по меньшей мере на 70%, по меньшей мере на 80%, по меньшей мере на 90% или по меньшей мере на 100% по сравнению с контролем (например, ASO без такой модификации сахара).

Мономеры ASO, описанные в настоящем документе, связаны друг с другом через связывающие группы. Соответственно каждый мономер связан с соседним 3'-мономером через связывающую группу.

Специалисту в данной области будет понятно, что в контексте настоящего раскрытия 5'-мономер на конце ASO не содержит 5'-связывающую группу, хотя он может содержать или не содержать 5'-концевую группу.

Термины "связывающая группа" и "межнуклеотидная связь" предназначены для обозначения группы, способной ковалентно связывать вместе два нуклеотида. Примеры включают фосфатные группы и фосфоротиоатные группы.

Примеры межнуклеотидных связей включают фосфодиэфирную связь, фосфотриэфирную связь, метилфосфонатную связь, фосфорамидатную связь, фосфоротиоатную связь и их комбинации. См. также WO 2007/031091, которая включена в настоящее описание посредством ссылки в полном объеме.

В одном аспекте ASO по изобретению нуклеотиды связаны друг с другом посредством фосфоротиоатных групп.

Признано, что включение фосфодиэфирных связей, таких как одна или две связи, в фосфоротиоат ASO, в частности, между нуклеотидами или рядом с ними, может модифицировать биодоступность и/или биораспределение ASO; см. WO 2008/113832, настоящим включенная в качестве ссылки.

В некоторых вариантах осуществления, таких как вышеупомянутые варианты осуществления, где это применимо и специально не указано, все оставшиеся связывающие группы представляют собой фосфодиэфир, или фосфоротиоат, или их смесь.

В некоторых вариантах осуществления все межнуклеотидные связывающие группы представляют собой фосфориотат.

"LNA-нуклеозид" представляет собой 2'-модифицированный нуклеозид, который содержит бирадикал, связывающий C2' и C4' рибозного сахарного кольца указанного нуклеозида (также называемый "2'-4'-мостиком"), который ограничивает или блокирует конформацию рибозного кольца. Эти нуклеозиды в литературе также называются мостиковой нуклеиновой кислотой или бициклической нуклеиновой кислотой (BNA). Блокировка конформации рибозы связана с повышенной аффинностью гибридизации (дуплексная стабилизация), когда LNA вводится в олигонуклеотид для комплементарной молекулы РНК или ДНК. Обычно это можно определить путем измерения температуры плавления дуплекса олигонуклеотид/комплемент.

Неограничивающие примеры LNA-нуклеозидов раскрыты в WO 99/014226, WO 00/66604, WO 98/039352, WO 2004/046160, WO 00/047599, WO 2007/134181, WO 2010/077578, WO 2010/036698, WO 2007/090071, WO 2009/006478, WO 2011/156202, WO 2008/154401, WO 2009/067647, WO 2008/150729, Morita et al., *Bioorganic & Med. Chem. Lett.*, 12, 73-76; Seth et al., *J. Org. Chem.*, 2010, vol. 75(5), p. 1569-81; Mitsuoka et al., *Nucleic Acids Research*, 2009, 37(4), 1225-1238; и Wan & Seth, *J. Medical Chemistry*, 2016, 59, 9645-9667.

Другие неограничивающие иллюстративные LNA-нуклеозиды показаны на схеме 1.

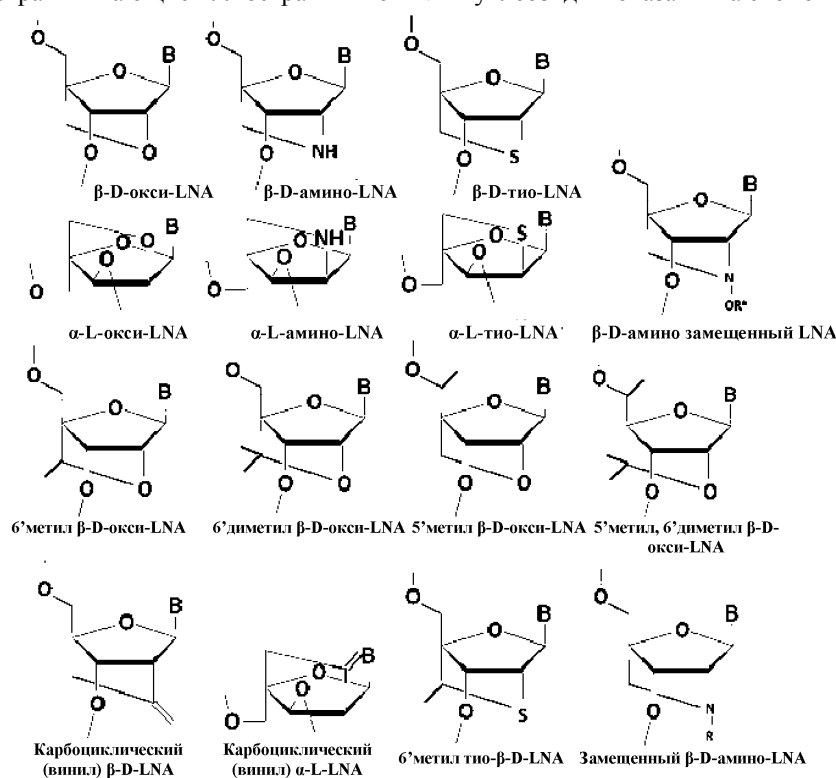


Схема 1

В конкретном варианте осуществления LNA, пригодный для раскрытия, представляет собой бета-D-окси-LNA.

II.A. Конъюгаты.

Используемый в настоящем документе термин конъюгат относится к ASO-005459, ковалентно связанному с нуклеотидным фрагментом.

Конъюгирование ASO-005459 с одним или несколькими нуклеотидными фрагментами может улучшить фармакологию ASO, например, путем воздействия на активность, клеточное распределение, клеточное поглощение или стабильность ASO. В некоторых вариантах осуществления фрагмент конъюгата модифицирует или усиливает фармакокинетические свойства ASO путем улучшения клеточного распределения, биодоступности, метаболизма, экскреции, проницаемости и/или клеточного поглощения ASO. В частности, конъюгат может нацеливать ASO на конкретный орган, ткань или клеточный тип и тем самым повышать эффективность ASO в этом органе, ткани или клеточном типе. В то же время конъюгат может служить для снижения активности ASO в нецелевых типах клеток, тканях или органах, например, нецелевой активности или активности в нецелевых типах клеток, тканях или органах. В WO 93/07883 и WO 2013/033230 предлагаются подходящие фрагменты конъюгата. Дополнительные подходящие фрагменты конъюгата представляют собой такие фрагменты, которые способны связываться с рецептором асиалогликопротеина (ASGPr). В частности, тривалентные конъюгаты N-ацетилгалактозамина являются пригодными для связывания с ASGPr, см., например, WO 2014/076196, WO 2014/207232 и WO 2014/179620.

Конъюгаты ASO и их синтез также были описаны во всеобъемлющих обзорах Manoharan в *Antisense Drug Technology, Principles, Strategies, and Applications*, S.T. Crooke, ed., ch. 16, Marcel Dekker, Inc., 2001, Manoharan, *Antisense and Nucleic Acid Drug Development*, 2002, 12, 103.

В некоторых вариантах осуществления нуклеотидный фрагмент (фрагмент конъюгата) выбирают из группы, состоящей из углеводов, лигандов рецепторов клеточной поверхности, лекарственных веществ, гормонов, липофильных веществ, полимеров, белков, пептидов, токсинов (например, бактериальных токсинов), витаминов, вирусных белков (например, капсидов) и их комбинаций.

II. В. Активированные ASO.

Термин "активированный ASO", используемый в настоящем документе, относится к ASO по настоящему изобретению, который ковалентно связан (т.е. функционализирован) по меньшей мере с одним функциональным фрагментом, который обеспечивает ковалентное связывание ASO с одним или несколькими конъюгированными фрагментами, т.е. фрагментами, которые сами не являются нуклеиновыми кислотами или мономерами, для образования конъюгатов, описанных в настоящем документе. Как правило, функциональный фрагмент будет содержать химическую группу, которая способна ковалентно связываться с ASO, например, через 3'-гидроксильную группу или экзоциклическую NH₂-группу основания аденина, спейсер, который может быть гидрофильным, и концевую группу, которая способна связываться с конъюгированным фрагментом (например, аминогруппа, сульфгидрильная или гидроксильная группа). В некоторых вариантах осуществления эта концевая группа не защищена, например представляет собой NH₂-группу. В других вариантах осуществления концевая группа защищена, например, любой подходящей защитной группой, такой как группы, описанные в "Protective Groups in Organic Synthesis" by Theodora W. Greene and Peter G.M. Wuts, 3rd edition (John Wiley & Sons, 1999).

В некоторых вариантах осуществления ASO-005459 функционализируют на 5'-конце, чтобы обеспечить ковалентное присоединение конъюгированного фрагмента к 5'-концу ASO. В других вариантах осуществления ASO по изобретению может быть функционализирован на 3'-конце. В еще других вариантах осуществления ASO по изобретению может быть функционализирован вдоль основной цепи или на фрагменте гетероциклического основания. В еще других вариантах осуществления ASO по настоящему изобретению может быть функционализирован в более чем одном положении, независимо выбранном из 5'-конца, 3'-конца, основной цепи и основания.

В некоторых вариантах осуществления активированный ASO по изобретению синтезируют путем включения во время синтеза одного или нескольких мономеров, которые ковалентно связаны с функциональной группой. В других вариантах осуществления активированный ASO по настоящему изобретению синтезируют с использованием мономеров, которые не были функционализированы, и ASO функционализируют после завершения синтеза.

III. Фармацевтические композиции и пути введения.

ASO-005459 можно применять в фармацевтических составах и композициях. Соответственно такие композиции содержат фармацевтически приемлемый растворитель, носитель, соль или адъювант.

ASO-005459 может быть включен в единицу дозирования, например, в фармацевтически приемлемый носитель или разбавитель в количестве, достаточном для доставки пациенту терапевтически эффективного количества, не вызывая серьезных побочных эффектов у подвергаемого лечению пациента. Однако в некоторых формах терапии серьезные побочные эффекты могут быть приемлемыми при обеспечении положительного результата терапевтического лечения.

Составленное лекарственное средство может содержать фармацевтически приемлемые связывающие вещества и адъюванты. Капсулы, таблетки или пилюли могут содержать, например, следующие соединения: микрокристаллическую целлюлозу, камедь или желатин в качестве связывающих веществ; крахмал или лактозу в качестве вспомогательных веществ; стеараты в качестве смазывающих веществ; различные подсластители или ароматизаторы. В случае капсул единица дозирования может содержать жидкий носитель, такой как жирные масла. Аналогично частью такой единицы дозирования может быть сахарное или энтеросолюбильное покрытие. Олигонуклеотидные составы также могут представлять собой эмульсии, состоящие из активных фармацевтических ингредиентов и липида, образующего мицеллярную эмульсию.

Фармацевтические композиции по настоящему изобретению можно вводить несколькими способами в зависимости от того, желателно ли местное или системное лечение, и в зависимости от области, подлежащей лечению. Введение может быть

- (a) пероральным;
- (b) пульмональным, например, путем ингаляции или инсуффляции порошков или аэрозолей, включая введение с помощью ингалятора; интратрахеальным, интраназальным;
- (c) местным, включая эпидермальное введение, чрескожное введение, офтальмологическое введение и введение в слизистую оболочку, включая вагинальное и ректальное введение; или
- (d) парентеральным, включая внутривенную, внутриартериальную, подкожную, внутрибрюшинную или внутримышечную инъекцию или инфузию; или внутричерепным, например, интратекальным, интрацеребровентрикулярным или интравентрикулярным введением.

В одном варианте осуществления ASO-005459 вводят внутривенно, внутрибрюшинно, перорально,

местно или в виде болюсной инъекции или вводят непосредственно в орган-мишень. В некоторых вариантах осуществления ASO-005459 вводят интратекально или интрацеребровентрикулярно в виде болюсной инъекции.

Фармацевтические композиции и составы для местного применения могут включать трансдермальные пластыри, мази, лосьоны, кремы, гели, капли, спреи, суппозитории, жидкости и порошки. При этом необходимыми или желательными могут быть стандартные фармацевтические носители, водные порошкообразные или масляные основы, загустители и т.п. Примеры составов для местного применения включают препараты, в которых ASO-005459 присутствует в смеси с агентом для местной доставки, таким как липиды, липосомы, жирные кислоты, сложные эфиры жирных кислот, стероиды, хелатообразующие агенты и поверхностно-активные вещества. Композиции и составы для перорального введения включают, но не ограничиваются ими, порошки или гранулы, микрочастицы, наночастицы, суспензии или растворы в воде или в безводной среде, капсулы, гелевые капсулы, саше, таблетки или мини-таблетки. Композиции и составы для парентерального, интратекального, интрацеребровентрикулярного или внутривенного введения могут включать стерильные водные растворы, которые также могут содержать буферы, разбавители и другие подходящие добавки, такие как, но без ограничения, усилители проникновения, соединения-носители и другие фармацевтически приемлемые носители или вспомогательные вещества.

Фармацевтические композиции по настоящему изобретению включают, но без ограничения, растворы, эмульсии и составы, содержащие липосомы. Эти композиции могут быть получены из множества компонентов, которые включают, но без ограничения, предварительно приготовленные жидкости, самоэмульгирующиеся твердые вещества и самоэмульгирующиеся полутвердые вещества. Доставка лекарственного средства в ткань-мишень может быть улучшена с помощью носителей, включая, но без ограничения, катионные липосомы, циклодекстрины, производные порфирина, дендримеры с разветвленной цепью, полиэтилениминовые полимеры, наночастицы и микросферы (Dass C.R., *J. Pharm. Pharmacol.*, 2002, 54(1):3-27).

Фармацевтические составы по настоящему изобретению, которые в целях удобства могут быть представлены в виде единичной лекарственной формы, могут быть получены в соответствии с общепринятыми методиками, хорошо известными в фармацевтической промышленности. Такие методики включают стадию объединения активных ингредиентов с фармацевтическим(и) носителем(ями) или вспомогательным(и) веществом(ами). Как правило, составы получают путем однородного и тщательного смешивания активных ингредиентов с жидкими носителями или с тонкоизмельченными твердыми носителями, либо с теми и другими, а затем, если это необходимо, формования полученного продукта.

Для парентерального, подкожного, внутривенного или местного введения состав может включать стерильный разбавитель, буферы, регуляторы тоничности и антибактериальные средства. Активные ASO могут быть приготовлены в комбинации с носителями, которые защищают против деградации или быстрого выведения из организма, включая имплантаты или микрокапсулы со свойствами контролируемого высвобождения. Для внутривенного введения носителями могут представлять собой физиологический раствор или забуференный фосфатом солевой раствор. В международной публикации WO 2007/031091 (A2), опубликованной 22 марта 2007 г., дополнительно предлагаются подходящие фармацевтически приемлемые разбавители, носители и адьюванты, которые включены в настоящее описание посредством ссылки.

IV. Диагностика.

Это раскрытие дополнительно обеспечивает способ диагностики, который можно применять при диагностике связанных с SNCA заболеваний, например синуклеинопатии. Неограничивающие примеры синуклеинопатии включают, но без ограничения, болезнь Паркинсона, деменцию при болезни Паркинсона (PDD), деменцию с тельцами Леви и множественную системную атрофию.

ASO-005459 можно применять для измерения экспрессии транскрипта SNCA в ткани или биологических жидкостях, полученных от индивидуума, и сравнения измеренного уровня экспрессии со стандартным уровнем экспрессии транскрипта SNCA в нормальной ткани или биологических жидкостях, при этом увеличение уровня экспрессии по сравнению со стандартом свидетельствует о нарушении, поддающемся лечению с помощью ASO-005459.

ASO-005459 можно применять для анализа уровней транскриптов SNCA в биологическом образце с использованием любых способов, известных специалистам в данной области (Touboul et al., *Anticancer Res.* (2002), 22(6A): 3349-56; Verjout et al., *Mutat. Res.* (2000), 640: 127-38); Stowe et al., *J. Virol. Methods* (1998), 75(1): 93-91).

Под "биологическим образцом" подразумевается любой биологический образец, полученный от индивидуума, линия клеток, культура ткани или другой источник клеток, потенциально экспрессирующих транскрипт SNCA. Способы получения тканей путем биопсии и биологических жидкостей у млекопитающих хорошо известны в данной области.

V. Наборы, содержащие ASO.

Данное раскрытие дополнительно обеспечивает наборы, которые содержат ASO-005459, описанный в настоящем документе, и которые можно применять для выполнения способов, описанных в настоящем

документе. В определенных вариантах осуществления набор содержит по меньшей мере ASO-005459 в одном или нескольких контейнерах. В некоторых вариантах осуществления наборы содержат все компоненты, необходимые и/или достаточные для выполнения анализа на обнаружение, включая все контроли, инструкции по выполнению анализов и любое необходимое программное обеспечение для анализа и представления результатов. Специалист в данной области техники легко поймет, что ASO-005459 может быть легко включен в один из установленных форматов набора, которые хорошо известны в данной области.

VI. Способы применения.

ASO-005459 можно применять в терапевтических и профилактических целях. SNCA представляет собой белок из 140 аминокислот, преимущественно экспрессируемые в нейронах на пресинаптических терминалах, где, как полагают, он играет роль в регуляции синаптической передачи. Предполагается, что в естественных условиях он существует в виде как несвернутого мономера, так и стабильного тетрамера, состоящего из α -спиралей, и как было показано, подвергается нескольким посттрансляционным модификациям. Одной модификацией, которая была тщательно изучена, является фосфорилирование SNCA по аминокислоте серину 129 (S129). Обычно только небольшое количество SNCA конститутивно фосфорилируется по S129 (pS129), тогда как подавляющее большинство SNCA, обнаруженных в патологических внутриклеточных включениях, представляет собой SNCA pS129. Эти патологические включения состоят из агрегированных нерастворимых скоплений неправильно свернутых белков SNCA и являются характерной особенностью группы нейродегенеративных заболеваний, известных под общим названием синуклеинопатии (или α -синуклеинопатии).

При синуклеинопатиях SNCA может формировать патологические агрегаты в нейронах, известные как тельца Леви, которые характерны как для болезни Паркинсона (PD), так и для деменции при болезни Паркинсона (PDD) и деменции с тельцами Леви (DLB). Таким образом, ASO-005459 может уменьшать количество патологических агрегатов SNCA или предупреждать образование патологических агрегатов SNCA. Кроме того, в олигодендроцитах обнаруживаются патологические очаги, богатые SNCA, называемые глиальными цитоплазматическими включениями (GCI), которые являются характерным признаком быстро прогрессирующей фатальной синуклеинопатии, известной как множественная системная атрофия (MSA). В некоторых вариантах осуществления ASO-005459 уменьшает количество GCI или предупреждает образование GCI. Сообщения о недетектируемых или низких уровнях экспрессии мРНК SNCA в олигодендроцитах позволяют предположить, что некоторая патологическая форма SNCA распространяется от нейронов, где наблюдается высокая экспрессия, к олигодендроцитам. В некоторых вариантах осуществления ASO-005459 уменьшает или предупреждает распространение SNCA, например, патологической формы SNCA, от нейронов.

ASO-005459 можно применять в исследованиях, например, для специфического ингибирования синтеза белка SNCA (обычно путем деградации или ингибирования мРНК и тем самым предотвращения образования белка) в клетках и экспериментальных животных, тем самым облегчая функциональный анализ мишени или оценку его полезности в качестве мишени для терапевтического вмешательства. Кроме того, обеспечены способы подавления экспрессии мРНК SNCA и/или белка SNCA в клетках или тканях, включающие контактирование клеток или тканей *in vitro* или *in vivo* с эффективным количеством ASO-005459, конъюгатов или композиций по изобретению.

Что касается терапевтических средств, животное или человека, подозреваемых в наличии заболевания или нарушения, которое можно лечить путем модулирования экспрессии транскрипта SNCA и/или белка SNCA, подвергают лечению путем введения ASO-005459 в соответствии с настоящим раскрытием. Кроме того, предлагаются способы лечения млекопитающего, например, человека, подозреваемого в наличии или склонности к заболеванию или состоянию, связанному с экспрессией транскрипта SNCA и/или белка SNCA, путем введения терапевтически или профилактически эффективного количества ASO-005459 или композиций по изобретению. ASO, конъюгат или фармацевтическую композицию в соответствии с изобретением обычно вводят в эффективном количестве. В некоторых вариантах осуществления ASO или конъюгат по изобретению применяют в терапии.

Изобретение дополнительно обеспечивает ASO-005459 для применения в лечении одного или нескольких заболеваний, упомянутых в настоящем документе, таких как заболевание, выбранное из группы, состоящей из болезни Паркинсона, деменции при болезни Паркинсона (PDD), деменции с тельцами Леви, множественной системной атрофии и любых их комбинаций.

Изобретение дополнительно обеспечивает способ лечения α -синуклеинопатий, при этом способ включает введение эффективного количества ASO, конъюгатов или их фармацевтических композиций животному, нуждающемуся в этом (такому как пациент, нуждающийся в этом).

В некоторых вариантах осуществления заболевание, нарушение или состояние связано со сверхэкспрессией транскрипта гена SNCA и/или белка SNCA.

Изобретение также обеспечивает способы ингибирования (например, путем снижения) экспрессии транскрипта гена SNCA и/или белка SNCA в клетке или ткани, при этом способ включает контактирование клетки или ткани *in vitro* или *in vivo* с эффективным количеством ASO, конъюгатов или их фарма-

цветических композиций по изобретению для достижения снижения экспрессии транскрипта гена SNCA, тем самым снижая уровень белка SNCA.

В некоторых вариантах осуществления ASO-005459 применяют для снижения экспрессии мРНК SNCA в одном или нескольких отделах мозга, например, гиппокампе, стволе мозга, полосатом теле или любых их комбинациях. В других вариантах осуществления ASO-005459 снижает экспрессию мРНК SNCA, например, в стволе мозга и/или полосатом теле менее чем на 70%, менее чем на 60%, менее чем на 50%, менее чем на 40%, менее чем на 30%, менее чем на 20%, менее чем на 10% или менее чем на 5% по сравнению с экспрессией мРНК SNCA после введения или воздействия носителя (без ASO) на день 3, 5, 7, 10, 14, 15, 20, 21 или 25. В некоторых вариантах осуществления экспрессия мРНК SNCA поддерживается на уровне ниже 70%, ниже 60%, ниже 50%, ниже 40%, ниже 30%, ниже 20%, ниже 10% или ниже 5% по сравнению с экспрессией мРНК SNCA после введения или воздействия носителя (без ASO) в течение до 28, 30, 32, 35, 40, 42, 45, 49, 50, 56, 60, 63, 70 или 75 дней.

В других вариантах осуществления ASO-005459 снижает экспрессию мРНК SNCA и/или белка SNCA в медулле, дорсальном стриатуме, варолиевом мосте, мозжечке, поясничном отделе спинного мозга, лобной доле и/или любых их комбинациях.

Изобретение также обеспечивает применение ASO-005459 или конъюгата по изобретению для изготовления лекарственного средства. Изобретение также обеспечивает композицию, содержащую ASO-005459 или его конъюгат, для применения в лечении нарушения, как указано в настоящем документе, или способ лечения нарушения, как указано в настоящем документе. Настоящее изобретение также обеспечивает ASO-005459 или конъюгаты для применения в терапии. Настоящее изобретение дополнительно обеспечивает ASO-005459 или конъюгаты для применения в лечении синуклеинопатии.

Изобретение дополнительно обеспечивает способ ингибирования белка SNCA в клетке, которая экспрессирует SNCA, включающий введение ASO-005459 или конъюгата в соответствии с изобретением в клетку, чтобы таким образом воздействовать на ингибирование белка SNCA в клетке.

Изобретение включает способ уменьшения, ослабления, предупреждения или лечения нейрональной гипервозбудимости у субъекта, нуждающегося в этом, включающий введение ASO-005459 или конъюгата в соответствии с изобретением.

Изобретение также обеспечивает способ лечения нарушения, как указано в настоящем документе, при этом способ включает введение ASO-005459 или конъюгата в соответствии с изобретением, как описано в настоящем документе, и/или фармацевтической композиции в соответствии с изобретением пациенту, нуждающемуся в этом.

ASO-005459 и другие композиции в соответствии с изобретением можно применять для лечения состояний, связанных со сверхэкспрессией или экспрессией мутированной версии белка SNCA.

Изобретение обеспечивает ASO-005459 или конъюгат в соответствии с изобретением для применения в качестве лекарственного средства, например, для лечения α -синуклеинопатий. В некоторых вариантах осуществления α -синуклеинопатия представляет собой заболевание, выбранное из группы, состоящей из болезни Паркинсона, деменции при болезни Паркинсона (PDD), деменции с тельцами Леви, множественной системной атрофии и любых их комбинаций.

Изобретение дополнительно обеспечивает применение ASO-005459 в изготовлении лекарственного средства для лечения заболевания, нарушения или состояния, как указано в настоящем документе. В некоторых вариантах осуществления ASO-005459 или его конъюгат применяют для изготовления лекарственного средства для лечения α -синуклеинопатии, эпилепсии или их комбинации.

В целом, один аспект изобретения относится к способу лечения млекопитающего, страдающего или подверженного состояниям, связанным с аномальными уровнями SNCA (т.е. α -синуклеинопатия), включающему введение млекопитающему терапевтически эффективного количества ASO, как описано в настоящем документе.

Заболевание или нарушение, как указано в настоящем документе, в некоторых вариантах осуществления может быть связано с мутацией в гене SNCA или гене, белковый продукт которого связан или взаимодействует с белком SNCA. Таким образом, в некоторых вариантах осуществления мРНК-мишень представляет собой мутированную форму последовательности SNCA.

Интересный аспект изобретения направлен на применение ASO-005459, как определено в настоящем документе, или конъюгата, как определено в настоящем документе, для изготовления лекарственного средства для лечения заболевания, нарушения или состояния, как указано в настоящем документе.

Способы по настоящему изобретению можно применять для лечения или профилактики заболеваний, вызванных аномальными уровнями белка SNCA. В некоторых вариантах осуществления заболевания, вызванные аномальными уровнями белка SNCA, представляют собой α -синуклеинопатии. В некоторых вариантах осуществления α -синуклеинопатии включают болезнь Паркинсона, деменцию при болезни Паркинсона (PDD), деменцию с тельцами Леви и множественную системную атрофию.

Альтернативно, в некоторых вариантах осуществления изобретение, кроме того, относится к способу лечения аномальных уровней белка SNCA, при этом способ включает введение ASO-005459 или конъюгата по изобретению, или фармацевтической композиции по изобретению пациенту, нуждающе-

муся в этом.

Изобретение также относится к ASO-005459, композиции или конъюгату, как определено в настоящем документе, для применения в качестве лекарственного средства.

Изобретение, кроме того, относится к применению соединения, композиции или конъюгата, как определено в настоящем документе, для изготовления лекарственного средства для лечения аномальных уровней белка SNCA или экспрессии мутантных форм белка SNCA (таких как аллельные варианты, например тех, которые связаны с одним из заболеваний, упомянутых в настоящем документе).

Пациент, который нуждается в лечении, представляет собой пациента, страдающего или вероятно страдающего заболеванием или нарушением.

При осуществлении настоящего изобретения будут использованы, если не указано иное, традиционные методы клеточной биологии, клеточной культуры, молекулярной биологии, трансгенной биологии, микробиологии, рекомбинантной ДНК и иммунологии, известные специалистам в данной области. Такие методики подробно описаны в литературе. См., например, Sambrook et al., ed. (1989), *Molecular Cloning A Laboratory Manual* (2nd ed.; Cold Spring Harbor Laboratory Press); Sambrook et al., ed. (1992), *Molecular Cloning: A Laboratory Manual* (Cold Spring Harbor Laboratory, NY); D.N. Glover ed., (1985), *DNA Cloning*, vol. I and II; Gait, ed. (1984), *Oligonucleotide Synthesis*; Mullis et al., U.S., pat. № 4683195; Hames and Higgins, eds. (1984), *Nucleic Acid Hybridization*; Hames and Higgins, eds. (1984), *Transcription And Translation*; Freshney (1987), *Culture Of Animal Cells* (Alan R. Liss, Inc.); *Immobilized Cells And Enzymes* (IRL Press) (1986); Perbal (1984), *A Practical Guide To Molecular Cloning*; the treatise, *Methods In Enzymology* (Academic Press, Inc., N.Y.); Miller and Calos eds. (1987), *Gene Transfer Vectors For Mammalian Cells*, (Cold Spring Harbor Laboratory); Wu et al., eds., *Methods In Enzymology*, vol. 154 and 155; Mayer and Walker, eds. (1987), *Immunochemical Methods In Cell And Molecular Biology* (Academic Press, London); Weir and Blackwell, eds. (1986), *Handbook Of Experimental Immunology*, vol. I-IV; *Manipulating the Mouse Embryo*, Cold Spring Harbor Laboratory Press, Cold Spring Harbor, N.Y., (1986); Crooke, *Antisense drug Technology: Principles, Strategies and Applications*, 2nd ed., CRC Press (2007); и в Ausubel et al. (1989), *Current Protocols in Molecular Biology* (John Wiley and Sons, Baltimore, Md.).

Все ссылки, цитированные выше, а также все ссылки, цитированные в настоящем документе, включены в настоящий документ посредством ссылки во всей их полноте.

Следующие примеры предлагаются в качестве иллюстрации, а не в качестве ограничения.

Примеры

Пример 1. Конструирование ASO-005459.

Описанный в настоящем документе ASO (т.е. ASO-005459) разрабатывали для нацеливания на место соединения между интроном 1 и экзоном 2 пре-мРНК SNCA (т.е. нуклеотиды 7604-7620 SEQ ID NO: 1). ASO-005459 был разработан как гэпмер (например, чередующийся гэпмер) и содержит закрытые нуклеиновые кислоты - LNA (заглавные буквы), бета-дезоксид LNA на 5'-конце и 3'-конце, и фосфоротиоатную основную цепь. Но основная цепь может представлять собой основную цепь других типов (например, фосфодиэфирная связь, фосфотриэфирная связь, метилфосфонатная связь, фосфорамидатная связь или их комбинации).

ASO по настоящему изобретению синтезировали с использованием способов, хорошо известных в данной области. Иллюстративные способы получения таких ASO описаны в Barciszewski et al., chapter 10, "Locked Nucleic Acid Aptamers" in *Nucleic Acid and Peptide Aptamers: Methods and Protocols*, vol. 535, Gunter Mayer (ed.) (2009), полное содержание которой включено в настоящий документ посредством ссылки.

Пример 2. Многопараметрический анализ (High Content Assay) для измерения снижения уровня белка SNCA в первичных нейронах.

ASO-005459 тестировали на его способность снижать экспрессию белка SNCA в первичных нейронах мыши. Первичные нейрональные культуры получали из переднего мозга мышей PAC-Tg (SNCA^{A53T}+/+; SNCA^{-/-} ("PAC-A53T")), несущих полностью человеческий ген SNCA с мутацией A53T на мышинном фоне с нокаутом SNCA. См. Куо Y. et al., *Hum. Mol. Genet.*, 19: 1633-50 (2010). Все процедуры с участием мышей проводили в соответствии с Методами испытаний на животных (*Animal Test Methods*, ATM), утвержденными Bristol-Myers Squibb Animal Care and Use Committee (ACUC). Первичные нейроны генерировали путем расщепления папаином в соответствии с протоколом производителя (Worthington Biochemical Corporation, LK0031050). Изолированные нейроны промывали и ресуспендировали в нейробазальной среде Neurobasal medium (NBM, Invitrogen), дополненной B27 (Gibco), 1,25 мкМ Glutamax (Gibco), 100 ед/мл пенициллина, 100 мкг/мл стрептомицина и 25 мкг/мл амфотерицина В.

Клетки высевали в многоруночные планшеты, покрытые поли-D-лизином, в количестве 5400 клеток/см² (например, в 384-луночные планшеты в количестве 6000 клеток/луночку в 25 мкл NBM). ASO разводили в воде и добавляли к клеткам через DIV01 (т.е. через 1 день после посева). ASO добавляли до 2× конечной концентрации в среде, затем доставляли к клеткам вручную. Альтернативно, ASO в воде распределяли с использованием акустической диспенсерной станции Labcyte ECHO. Для распределения с помощью ECHO 250 нл ASO в воде добавляли к клеткам в среде с последующим добавлением аликвоты равного объема, представляющей собой свежую аликвоту NBM. Для первичного скрининга ASO добавляли до конечных концентраций 5, 3,3, 1, 200 нМ или 40 нМ. Для определения активности готовили

8-10 точечные титрования ASO из 0,75 мМ исходного раствора, затем доставляли к культивируемым клеткам с получением конечных концентраций в диапазоне 2,7-4000 или 4,5-10000 нМ. ASO-000010 (TCtGctctggcTtTG, SEQ ID NO: 5) и ASO-000838 (AGAaataagtggtAGT, SEQ ID NO: 6) (5 мкМ) включали в каждый планшет в качестве эталонных контрольных ингибиторов для тубулина и SNCA соответственно. Клетки инкубировали с ASO в течение 14 дней для достижения устойчивого снижения мРНК.

После 14-дневной инкубации клетки фиксировали путем добавления в лунки фиксатора до конечных концентраций 4% формальдегида (J.T. Baker) и 4% сахарозы (Sigma). Клетки фиксировали в течение 15 мин, а затем фиксатор аспирировали из лунок. Затем клетки пермеабелизировали в течение 20 мин фосфатно-буферным солевым раствором (PBS), содержащим 0,3% Triton-X 100 и 3% бычьего сывороточного альбумина (BSA) или 3% нормальной козьей сыворотки. После этого из лунок аспирировали буфер для пермеабелизации и клетки один раз промывали PBS. Первичные антитела затем разводили в PBS, содержащем 0,1% Triton X-100 и 3% BSA. Использовали разведения 1:1000 кроличьих антител против SNCA (Abcam) и 1:500 куриных антител против тубулина (Abcam). Клетки инкубировали с первичными антителами в течение от 2 ч до ночи. После инкубации окрашивающий раствор для первичных антител аспирировали и клетки промывали 2 раза PBS. В лунки вносили вторичный окрашивающий раствор, содержащий в разведении 1:500 козы антитела к иммуноглобулинам курицы, конъюгированные с флуоресцентным красителем Alexa 567, козы антитела к иммуноглобулинам кролика, конъюгированные с Alexa 488, и Hoechst (10 мкг/мл) в PBS, содержащем 0,1% Triton X-100 с 3% BSA, и планшеты инкубировали в течение 1 ч. После этого вторичный окрашивающий раствор аспирировали из лунок и клетки промывали 3 раза PBS. После промывания клеток в каждую лунку вносили 60 мкл PBS. Затем планшеты хранили в PBS до визуализации.

Для визуализации планшеты сканировали на системе Thermo-Fisher (Cellomics) CX5 с использованием программы Spot Detector Bio-Application (Cellomics) для количественного определения ядер (краситель Hoechst, канал 1), удлинений тубулина (Alexa 567, канал 2) и SNCA (Alexa 488, канал 3). Количество объектов (ядер) наблюдали, но не публиковали в базе данных. Общую площадь, покрытую тубулином, количественно оценивали как функцию SpotTotalAreaCh2, и общую интенсивность окрашивания на SNCA количественно оценивали как SpotTotalIntenCh3. Измерение тубулина было включено для мониторинга токсичности. Для определения снижения уровня белка SNCA рассчитывали отношение интенсивности SNCA к площади окрашивания тубулина и результаты нормализовали как медиану % ингибирования, используя медиану для лунок, обработанных носителем, в качестве общего значения, и лунки ASO-000010 или ASO-000838 в качестве максимально ингибированных лунок для тубулина или SNCA, соответственно.

Пример 3. Анализ QUANTIGENE® (96-луночный анализ) для измерения снижения мРНК в нейронах человека.

Способность ASO-005459 снижать мРНК SNCA человека и/или возможные нецелевые виды мРНК человека измеряли *in vitro* с помощью анализа QUANTIGENE®. Нейроны человека (Cellular Dynamics Inc., "iNeurons") оттаивали, высевали и культивировали в соответствии со спецификациями производителя. Эти iNeurons представляют собой популяцию человеческих нейронов высокой чистоты, полученных из индуцированных плюрипотентных стволовых (iPS) клеток с использованием собственных протоколов дифференцировки и очистки Cellular Dynamic.

Лизис. Клетки высевали в 96-луночные планшеты, покрытые поли-L-орнитин/ламинином в количестве 50000-10000 клеток на лунку (в зависимости от экспрессии исследуемой мишени) и поддерживали в нейробазальной среде, дополненной B27, GlutaMax и пенициллин-стрептомицином. ASO разводили в воде и добавляли к клеткам DIV01 (т.е. через 1 день после посева). Для единичных измерений обычно использовали конечную концентрацию ASO, равную 0,5 мкМ. Для определения IC₅₀ нейроны обрабатывали разведениями 1:4 с построением семиточечной кривой концентрация-ответ с самой высокой концентрацией 5 мкМ. Затем клетки инкубировали при 37°C и 5% CO₂ в течение 6 дней для достижения устойчивого снижения уровня мРНК.

После инкубации среду удаляли и клетки промывали 1× в DPBS и лизировали следующим образом. Измерение содержания матричной РНК в лизате проводили с использованием системы реагентов QUANTIGENE® 2.0 Reagent System (AFFYMETRIX®), позволяющей количественно оценить РНК методом амплификации сигнала (метод "разветвленной" ДНК), основанным на специально разработанном наборе зондов захвата РНК. Рабочий буферный раствор для лизиса клеток готовили путем добавления 50 мкл протеиназы К к 5 мл предварительно нагретой (37°C) смеси для лизиса Lysis mix и разбавляли в dH₂O до конечного разведения 1:4. Рабочий буфер для лизиса вносили в планшеты (от 100 до 150 мкл/лунку в зависимости от экспрессии исследуемой мишени), растирали 10 раз, герметично закрывали и инкубировали в течение 30 мин при 55°C. После лизиса лунки растирали еще 10 раз и планшеты хранили при -80°C или сразу же анализировали.

Анализ. В зависимости от конкретного используемого зонда захвата (т.е. SNCA, PROS1 или тубулин) лизаты разбавляли (или не разбавляли) в смеси для лизиса. Затем лизаты добавляли в планшеты для захвата (96-луночные полистирольные планшеты, покрытые зондами захвата) в общем объеме 80 мкл/лунку.

Реагенты для рабочего набора зондов получали путем объединения воды, не содержащей нуклеазу (12,1 мкл), смеси для лизиса (6,6 мкл), блокирующего реагента (1 мкл) и специального набора зондов 2.0 (0,3 мкл) (SNCA человека, номер по каталогу SA-50528, PROS1 человека, номер по каталогу SA-10542 или бета-3 тубулин человека, номер по каталогу SA-15628) в соответствии с инструкциями производителя (QUANTIGENE® 2.0 AFFYMETRIX®). Затем 20 мкл реагентов для рабочего набора зондов добавляли к 80 мкл разведения лизата (или 80 мкл смеси для лизиса для исходных образцов) на планшете для захвата. Планшеты центрифугировали при 240g в течение 20 с и затем инкубировали в течение 16-20 ч при 55°C для гибридизации (захват РНК-мишени).

Аmplification сигнала и детекцию РНК-мишени начинали с промывки планшетов 3 раза буфером (300 мкл/лунку) для удаления любого несвязанного вещества. Затем добавляли реагент для гибридизации 2.0 Pre-Amplifier 2.0 (100 мкл/лунку), инкубировали при 55°C в течение 1 ч, затем аспирировали и добавляли промывочный буфер, и аспирировали 3 раза. Затем, как описано, добавляли реагент для гибридизации 2.0 Amplifier (100 мкл/лунку), инкубировали в течение 1 ч при 55°C и стадию промывания повторяли, как описано ранее. Затем добавляли реагент для гибридизации 2.0 Label Probe (100 мкл/лунку), инкубировали в течение 1 ч при 50°C и стадию промывания повторяли, как описано ранее. Планшеты снова центрифугировали при 240g в течение 20 с, чтобы удалить любой избыток промывочного буфера, и затем к планшетам добавляли 2.0 Substrate (100 мкл/лунку). Планшеты инкубировали в течение 5 мин при комнатной температуре, а затем планшеты визуализировали на многоканальном ридере PerkinElmer Envision в режиме люминометра в течение 15 мин.

Определение данных. Для интересующего гена средний в анализе фоновый сигнал вычитали из среднего сигнала каждого технического повтора. Средние сигналы за вычетом фона для интересующего гена затем нормализовали к среднему сигналу за вычетом фона для РНК домашнего хозяйства (housekeeping RNA) тубулина. Процент ингибирования для обработанного образца рассчитывали относительно лизата контрольного обработанного образца. Результаты анализов QUANTIGENE® для клеток, обработанных ASO, показаны, например, на фиг. 3.

Пример 4. Анализ QUANTIGENE® (96-луночный анализ) для измерения снижения уровня мРНК в клетках Ramos.

Для измерения возможного снижения уровня мРНК нецелевого IKZF3 (цинковый палец 3 семейства IKAROS), использовали клетки Ramos (линия лимфоцитарных клеток человека). Поскольку клетки Ramos не экспрессируют SNCA, RB1 (RB, транскрипционный корепрессор 1), который экспрессируется в клетках Ramos, использовали в качестве положительного контроля для оценки ASO-опосредованного нокдауна экспрессии мРНК IKZF3. Два ASO синтезировали для связывания и нокдауна экспрессии мРНК RB1 человека. Бета-2-микроглобулин (β 2M) использовали в качестве контрольного гена домашнего хозяйства. Клетки Ramos выращивали в суспензии в среде RPMI, дополненной FBS, глутамином и пенициллином/стрептомицином.

Лизис. Клетки высевали на 96-луночные планшеты, покрытые поли-L-орнитином/ламинином в количестве 20000 клеток на лунку и поддерживали в нейробазальной среде, содержащей B27, GlutaMax и пенициллин-стрептомицин. ASO разбавляли водой и добавляли к клеткам через 1 день после посева (DIV01) до конечной концентрации 1 мкМ. После обработки ASO клетки инкубировали при 37°C в течение 4 дней для достижения устойчивого снижения уровня мРНК. После инкубации среду удаляли и клетки лизировали следующим образом. Измерение содержания матричной РНК в лизате проводили с использованием системы реагентов QUANTIGENE® 2.0 Reagent System (AFFYMETRIX®), которая количественно оценивает РНК с использованием метода амплификации сигнала (метод "разветвленной" ДНК), основанного на специально разработанном наборе зондов захвата РНК. Смесь для лизиса (QUANTIGENE® 2.0 AFFYMETRIX®) предварительно нагревали в инкубаторе при 37°C в течение 30 мин. Для лизиса клеток в суспензии к 200 мкл клеток в суспензии добавляли 100 мкл 3x буфера для лизиса (содержащего 10 мкл/мл протеиназы К). Затем клетки растирали 10 раз для лизиса, планшет герметично закрывали и инкубировали в течение 30 мин при 55°C. После этого лизаты хранили при -80°C или сразу же анализировали.

Анализ. В зависимости от используемого конкретного зонда захвата (т.е. IKZF3, RB1 и β 2M) лизаты разбавляли (или не разбавляли) в смеси для лизиса. Затем лизаты вносили в планшет для захвата (96-луночный полистирольный планшет, покрытый зондами захвата) в общем объеме 80 мкл/лунку. Реагенты для рабочих наборов зондов получали путем объединения 12,1 мкл воды, не содержащей нуклеаз, 6,6 мкл смеси для лизиса, 1 мкл блокирующего реагента, 0,3 мкл специфического набора зондов 2.0 (IKZF3 человека, номер по каталогу SA-17027, RB1 человека, номер по каталогу SA-10550 или бета-2 микроглобулин, номер по каталогу SA-10012) в соответствии с инструкциями производителя (QUANTIGENE® 2.0 AFFYMETRIX®). Затем 20 мкл реагентов для рабочего набора зондов добавляли к 80 мкл разведения лизата (или 80 мкл смеси для лизиса для исходных образцов) на планшете для захвата. Затем планшеты инкубировали в течение 16-20 ч при 55°C для гибридизации (захват РНК-мишени). Амплификацию сигнала и обнаружение РНК-мишени начинали с промывки планшетов буфером 3 раза (300 мкл/лунку) для удаления любого несвязанного вещества. Затем добавляли реагент для гибридизации

2.0 Pre-Amplifier 2.0 (100 мкл/лунку), инкубировали при 55°C в течение 1 ч, затем аспирировали и добавляли промывочный буфер, и аспирировали 3 раза. Затем, как описано, добавляли реагент для гибридизации 2.0 Amplifier (100 мкл/лунку), инкубировали в течение 1 ч при 55°C и стадию промывки повторяли, как описано ранее. Затем добавляли реагент для гибридизации 2.0 Label Probe (100 мкл/лунку), инкубировали в течение 1 ч при 50°C и стадию промывания снова повторяли, как описано ранее. Планшеты снова центрифугировали при 240g в течение 20 с, чтобы удалить избыток промывочного буфера, и затем к планшетам добавляли 2.0 Substrate (100 мкл/лунку). Планшеты инкубировали в течение 5 мин при комнатной температуре, а затем визуализировали на многоканальном ридере PerkinElmer Envision в режиме люминометра в течение 15 мин.

Определение данных. Для интересующего гена средний в анализе фоновый сигнал (т.е. без лизата, только 1× буфер для лизиса) вычитали из среднего сигнала каждого технического повтора. Средние сигналы за вычетом фона для интересующего гена затем нормализовали к среднему сигналу за вычетом фона для РНК домашнего хозяйства (housekeeping RNA) (для клеток Ramos это бета-2-микроглобулин). Процент ингибирования для обработанного образца рассчитывали относительно среднего значения лизата необработанного образца. Результаты анализов QUANTIGENE® для клеток, обработанных ASO-005459, показаны в табл. 4.

Пример 5. Анализ qPCR для измерения снижения уровня мРНК SNCA в клетках SK-N-BE(2).

ASO-005459, нацеленный на SNCA, тестировали на его способность снижать экспрессию мРНК SNCA в клетке нейробластомы SK-N-BE(2) человека, полученной из ATCC (CRL-2271).

Клетки SK-N-BE(2) выращивали в среде для культивирования клеток (MEM [Sigma, номер по каталогу M2279], дополненной 10% фетальной бычьей сывороткой [Sigma, номер по каталогу F7524], 1× GlutaMax™ [Sigma, номер по каталогу 3050-038], 1× раствором MEM незаменимых аминокислот [Sigma, номер по каталогу M7145] и 0,025 мг/мл гентамицина [Sigma, номер по каталогу G1397]). Клетки трипсинизировали каждые 5 дней путем промывки фосфатно-солевым буферным раствором (PBS) [Sigma, номер по каталогу 14190-094] с последующим добавлением 0,25% раствора трипсина в EDTA (Sigma, T3924), инкубацией в течение 2-3 мин при 37°C и растиранием перед посевом клеток. Клетки поддерживали в культуре на протяжении до 15 пассажей.

Для экспериментального использования 12500 клеток на лунку высевали в 96-луночные планшеты (Nunc, номер по каталогу 167008) в 100 мкл ростовой среды. Олигонуклеотиды получали из 750 мкМ исходного раствора. ASO, растворенный в PBS, добавляли приблизительно через 24 ч после того, как клетки высевали до конечной концентрации 25 мкМ для односточных исследований. Клетки инкубировали в течение 4 дней без какой-либо замены среды. Для определения активности готовили 8 концентраций ASO в конечном диапазоне концентраций 16-50000 нМ. ASO-004316 (CcAAAtcttataataACtAC, SEQ ID NO: 7) и ASO-002816 (TTCctttacaccACAC, SEQ ID NO: 8) были включены в качестве контролей.

После инкубации клетки собирали путем удаления среды с последующим добавлением 125 мкл буфера для лизиса PURELINK® Pro 96 Lysis buffer (Invitrogen 12173.001 A) и 125 мкл 70% этанола. РНК очищали в соответствии с инструкцией производителя и элюировали в конечном объеме 50 мкл воды, что привело к концентрации РНК 10-20 нг/мкл. РНК разбавляли в 10 раз водой перед одностадийной реакцией qPCR. Для одностадийной реакции qPCR qPCR-смесь (qScript™ MXLE 1-step RT-qPCR TOUGH-MIX® Low ROX от QuantaBio, номер по каталогу 95134-500) смешивали с двумя зондами Taqman в соотношении 10:1:1 (смесь qPCR: зонд 1: зонд 2) для генерации мастер-микса. Зонды Taqman приобретали у фирмы LifeTechnologies: SNCA: Hs01103383_m1; PROS1: Hs00165590_m1; TBP: 4325803; GAPDH 4325792. Мастер-микс (6 мкл) и РНК (4 мкл, 1-2 нг/мкл) затем смешивали в планшете qPCR (MICRO-AMP® оптический 384-луночный, 4309849). После герметичного закрытия планшет быстро вращали, 1000g в течение 1 мин при комнатной температуре, переносили в систему ViiATM 7 (Applied Biosystems, Thermo) и использовали следующие условия PCR: 50°C в течение 15 мин; 95°C в течение 3 мин; 40 циклов: 95°C в течение 5 с с последующим снижением температуры со скоростью 1,6°C/с, а затем 60°C в течение 45 с. Данные анализировали с использованием программного обеспечения QuantStudio™ Real-time PCR.

Пример 6. Анализ in vitro ASO-005459 в отношении уменьшения мРНК SNCA человека.

Активность ASO-005459 в нейронах мыши.

Используя способы, описанные выше в примере 2, ASO-005459 тестировали на его способность снижать экспрессию белка SNCA в результате снижения уровня мРНК SNCA. Вкратце первичные нейроны, полученные от мышей PAC-A53T, обрабатывали ASO-005459 или контрольными ASO в течение 14 дней. Затем клетки фиксировали и измеряли уровни белка SNCA и белка тубулина с помощью многопараметрического анализа "High Content Imaging". Уровни тубулина измеряли для мониторинга токсичности и нормализации снижения уровня белка SNCA.

Как показано ниже табл. 1, инкубация клеток с 4 нМ ASO-005459 привела к снижению на 21% экспрессии белка SNCA. При 40 нМ и 5 мкМ ASO-005459 экспрессия белка SNCA снижалась на 84 и 86%, соответственно. Напротив, ASO-005459 оказывал минимальный эффект на уровень экспрессии белка тубулина или эффект отсутствовал.

Таблица 1

Активность ASO-005459 в нейронах A53T-РАС						
ASO-005459 концентра- ция	α Syn/туб %ингиб.	SD	N	Туб. %ингиб.	SD	N
4 нМ	21,11	33,71	3	-8,60	12,07	4
40 нМ	84,28	13,21	8	4,32	28,65	7
5 мкМ	86,45	7,91	2	29,01	18,06	2

SD=стандартное отклонение.

N=количество тестов.

Для дальнейшей оценки активности нейроны A53T-РАС обрабатывали 10-точечным титрованием ASO-005459, как описано выше в примере 2А, и определяли значения IC_{50} для эффекта на белки SNCA и тубулина. Как показано на фиг. 2А, 2В и в табл. 2 (ниже), наблюдалось зависимое от концентрации уменьшение отношения α -Syn/тубулин со средним значением IC_{50} 7,4 нМ. Это наблюдение согласуется с данными однократной активности, показанными в табл. 1 (выше). Более того, ASO-005459 оказал незначительное влияние на уровни Tub. Взятые вместе, эти результаты показывают, что ASO-005459 эффективно снижает уровни белка SNCA с минимальным влиянием на общую жизнеспособность клеток.

Таблица 2

Активность и селективность, оцененные для ASO-005459,
в отношении SNCA и белка тубулина в нейронах A53T-РАС

α Syn/туб IC_{50} (нМ)	SD	N	туб IC_{50} (нМ)	SD	N
7,42	2,73	6	>4000	NA	5

SD=стандартное отклонение.

N=количество тестов.

Эффективность ASO-005459 в клетках SK-N-BE(2).

Используя способ, описанный в примере 5, ASO-005459 тестировали на его способность снижать уровень мРНК SNCA в SK-N-BE(2) после 4-дневного лечения.

Инкубация клеток с 25 мкМ ASO-005459 привела к снижению на 92% уровня мРНК SNCA в клетках SK-N-BE(2).

Активность ASO-005459 в человеческих нейронах.

Активность ASO-005459 в отношении SNCA подтверждали с использованием первичных нейронов человека, как описано выше в примере 3. Вкратце нейроны человека получали из индуцированных плюрипотентных стволовых (iPS) клеток. Клетки обрабатывали ASO-005459 или контрольными ASO в течение 6 дней, а затем измеряли уровни мРНК с помощью анализа QUANTIGENE®. Поскольку нейроны человека также экспрессируют PROS1, потенциальную мишень для ASO-005459, уровень мРНК PROS1 также измеряли для оценки эффекта ASO-005459 на нецелевые гены. Дополнительно измеряли мРНК тубулина (TUBB) для мониторинга токсичности.

Как показано на фиг. 3 и в табл. 3 (ниже), ASO-005459 индуцировал зависимое от концентрации снижение SNCA, экспрессируемого в нейронах человека, со средним значением IC_{50} 100 нМ. Это значение IC_{50} в ~13 раз ниже, чем значение IC_{50} для снижения уровня белка SNCA в нейронах РАС-A53T (табл. 2, выше). Причина такого сдвига активности не ясна, но может быть обусловлена различиями в поглощении ASO, метаболизме или кинетике нокдауна SNCA. Несмотря на то что ASO-005459 также продемонстрировал зависимое от концентрации снижение уровня мРНК PROS1 в нейронах человека; значение IC_{50} оказалось в 30-50 раз ниже, чем значение IC_{50} для SNCA. Эти результаты подтверждают активность ASO-005459 в отношении SNCA в нейронах человека и указывают на то, что ASO-005459 является в 30-50 раз более селективным в отношении SNCA по сравнению с PROS1.

Таблица 3

Активность и селективность ASO-005459
в отношении мРНК SNCA и PROS1 в нейронах человека

Дата анализа	Партия	SNCA IC_{50} (нМ)	PROS1 IC_{50} (нМ)	TUBB3 IC_{50} (нМ)	PROS1/SNCA отношение IC_{50}
8/26/2016	01-001	42	2127	>5000	51
12/8/2016	01-004	157	>5000	>5000	>32

Партия=номер конкретной партии используемого ASO-005459.

Активность ASO-005459 в клетках Ramos.

IKZF3 представляет собой еще одну потенциальную мишень для ASO-005459, но, в отличие от PROS1, он не экспрессируется в нейронах человека. Вместо этого, IKZF3 устойчиво экспрессируется в клетках Ramos, лимфоцитарной клеточной линии человека. Клетки Ramos обрабатывали 1 мкМ

ASO-005459 и измеряли эффект на экспрессию мРНК IKZF3. Для контроля токсичности также измеряли мРНК бета-2 микроглобулина. Поскольку клетки Ramos не экспрессируют SNCA, другой ген, RB1 (транскрипционный корепрессор 1 RB), использовали в качестве положительного контроля для опосредованного ASO нокадауна. ASO-006754 (GGTgaggtttggaGA, SEQ ID NO: 9) и ASO-006755 (GGTgaggtttgga-gaAG, SEQ ID NO: 10) нацелены на RB1 и были включены в исследование. Как показано в табл. 4 (ниже), при концентрации 1 мкМ ASO-005459 не влиял на экспрессию мРНК IKZF3, демонстрируя специфичность ASO-005459 в отношении SNCA. ASO-005459 также не влиял на экспрессию мРНК RB1 и $\beta 2M$, что указывает на то, что ASO-005459 не токсичен для клеток Ramos. Напротив, ASO-006754 и ASO-006755 (контрольные ASO) снижали уровни RB1 на 87 и 83% соответственно, подтверждая активность ASO в клетках Ramos.

Таблица 4

Эффект 1 мкМ ASO-005459 на IKZF3 в клетках Ramos					
ASO	Мишень	Партия	IKZF3 (%кон)	RB1 (%кон)	$\beta 2M$ (%кон)
ASO-005459	SNCA	01-004	102	99	94
ASO-006754	RB1	01-001	104	13	87
ASO-006755	RB1	01-001	116	17	83

Партия=номер конкретной партии используемого ASO.

В совокупности представленные в настоящем документе результаты демонстрируют, что ASO-005459 является активным и высокоселективным в отношении снижения уровня мРНК SNCA, что в свою очередь опосредует снижение уровней белка SNCA. Результаты также показывают, что ASO-005459 хорошо переносится как в мышинных, так и в человеческих нейронах. Эти данные поддерживают дальнейшую разработку ASO-005459 в качестве модифицирующего заболевание терапевтического средства для лечения синуклеинопатий.

Пример 7. Переносимость *in vivo* и снижение уровня мРНК SNCA *in vivo*.

Переносимость *in vivo* ASO по настоящему изобретению тестировали, чтобы понять, как переносится ASO при инъекции в различные животные модели (т.е. мышам и яванским макакам).

Мыши.

Субъекты. Самцов и самок (в возрасте 2-3 месяца) мышей PAC-Tg (SNCA^{A53T}+/+, SNCA^{-/-} ("PAC-A53T")), несущих полностью человеческий ген SNCA с мутацией A53T на генетическом фоне мыши с нокаутом SNCA, использовали для краткосрочных, долгосрочных и PK/PD *in vivo* исследований эффективности. В некоторых случаях мышей дикого типа (WT) C57B/6 использовали для долгосрочной (т.е. 4 недели) оценки состояния здоровья. Мышей содержали в группах по 4 или 5 штук в помещении с контролируемой температурой с неограниченным доступом к пище и воде. Все процедуры с участием мышей проводили в соответствии с Методами испытаний на животных (Animal Test Methods, ATM), утвержденными Bristol-Myers Squibb Animal Care and Use Committee (ACUC).

Подготовка раствора для дозирования ASO. Для получения растворов для дозирования использовали шприцы со стерильным солевым раствором (1 мл), снабженные 0,2 мкм фильтрами Whatman, и центрифужные пробирки, свободные от нуклеаз. Указанный объем воды или солевого раствора добавляли к порошку ASO и перемешивали на вортексе (~1 мин) для растворения порошка ASO. Затем раствор оставляли на 10 мин и снова перемешивали на вортексе в течение ~1 мин. Пробирки недолго центрифугировали для возврата всей жидкости на дно пробирки, а затем раствор фильтровали через стерильный фильтр 0,2 мкм во вторую пробирку без РНКаз. Небольшую аликвоту исходного раствора разбавляли до 1 мг/мл для анализа концентрации с использованием Nanodrop. Аналитический образец трижды перемешивали на вортексе с переворачиванием вручную для тщательного перемешивания. Затем УФ-поглощение образца измеряли дважды при 260 нм с помощью Nanodrop (подставку ополаскивали и вытирали три раза перед нанесением образца). Тестовый образец отбрасывали после завершения анализа. Образец считался готовым к дозированию, если поглощение УФ находилось в диапазоне между 90 и 110% образца. Если УФ-поглощение превышало 110% образца, готовили вторичное разбавление; если поглощение составляло <90%, образец готовили с более высокой начальной концентрацией, и далее следовали аналогичные стадии, описанные выше. Образцы хранили при 4°C до использования.

Интрацеребровентрикулярная инъекция (ICV) методом "freehand". Инъекцию ICV выполняли с использованием микрошприца Hamilton, снабженного иглой 27 или 30 калибра, в соответствии с методом Haley и McCormick. Игла была снабжена полиэтиленовой защитой на расстоянии 2,5-3 мм от кончика, чтобы ограничить ее проникновение в мозг. Мышей анестезировали с использованием анестетика изофлурана (1-4%). После достаточного обезболевания мышей держали за вялую кожу шеи на спине большим и первым пальцами одной руки. Прилагая мягкое, но сильное давление, голову животного затем обездвиживали, прижимая к твердой ровной поверхности. Дозирование проводили с использованием 10 мкл шприцев Гамильтон, снабженных иглой 27/4 калибра. Затем кончик иглы вводили через скальп и череп, примерно на 1 мм латерально и на 1 мм каудально от уровня брегмы (т.е. справа от средней линии,

примерно на 3 мм назад, если измерять от линии глаза). После позиционирования иглы ASO вносили в объеме 5 мкл в солевой раствор в качестве носителя и вводили в течение ~30 с. Иглу оставляли на месте на 5-10 с перед удалением. Мышей возвращали в их домашнюю клетку и оставляли для восстановления на ~2-4 мин. Мышей наблюдали непрерывно в течение 30 мин сразу после дозирования для выявления побочных поведенческих эффектов лекарственного средства и/или дозирования. В течение этого времени любую мышь, у которой судорога наблюдалась более 3 раз, немедленно подвергали эвтаназии и пришивали автоматический балл 20. Переносимость лекарственного средства оценивали через 1 ± 15 мин после дозирования. Животных, которые продемонстрировали непереносимость после введения соединений (оценка переносимости >4), умерщвляли сразу же после проведения оценки через 1 ч.

Оценка переносимости ASO. Животных, которых дозировали ASO, оценивали сразу после дозирования и наблюдали в течение 2 ч на предмет любых побочных эффектов. Для краткосрочных исследований переносимости (AT) мышей оценивали во время дозирования и снова через 3 дня после инъекции ASO. Для долгосрочной оценки состояния здоровья мышей еженедельно взвешивали и наблюдали на наличие каких-либо проблем со здоровьем и поведением до завершения эксперимента. Мышей, у которых потеря веса составляла более 15% от их первоначальной массы тела или проявлялись проблемы, связанные с переносимостью, исключали из исследований и подвергали эвтаназии. Оценки состояния здоровья и переносимости проводили в соответствии со следующей таблицей.

Таблица 5

Система оценки переносимости^a

Категория	Балл 1	Балл 2	Балл 3	Балл 4
Гиперактивность, стереотипии, поведение в домашней клетке	<ul style="list-style-type: none"> •Очень незначительно увеличено исследование домашней клетки или вертикальной двигательной активности по сравнению с контролями 	<ul style="list-style-type: none"> •Увеличено исследование домашней клетки (напр., копание, зарывание, и т.д.) •Увеличен уход за шерстью 	<ul style="list-style-type: none"> •Умеренно увеличено исследование домашней клетки •Детектируемые стереотипии (напр., движение по кругу, повторяющиеся движения, ит.д.) 	<ul style="list-style-type: none"> •Значительная гиперактивность •Значительные стереотипии
Пониженная настороженность, исследование и отвечаемость	<ul style="list-style-type: none"> •Некоторое снижение исследовательской активности •Отвечают нормально на стимуляцию 	<ul style="list-style-type: none"> •Сонливость •Немного пониженная реакция на дотрагивание или манипулирование 	<ul style="list-style-type: none"> •Ступор (пониженная отвечаемость, пониженный корнеальный рефлекс) 	<ul style="list-style-type: none"> •Кома (нет ответа на стимуляцию, напр., сжатие), нет корнеального рефлекса
Двигательная координация и сила	<ul style="list-style-type: none"> •Умеренное изменение походки и силы сжатия (падение через 5-10) •Нет падений, нормальный выпрямительный ответ 	<ul style="list-style-type: none"> •Уменьшение силы сжатия (падение менее чем через 5 сек) •Умеренная атаксия (напр., медленный выпрямительный ответ, покачивание) 	<ul style="list-style-type: none"> •Высоко сниженная сила сжатия (падение менее чем через 2 сек) •Атаксия (напр., шатание, падение, нарушенная походка) 	<ul style="list-style-type: none"> •Серьезная атаксия (напр., ползание, падение с бруса) •Не может выпрямиться
Осанка, внешний вид, дыхание	<ul style="list-style-type: none"> •Очень незначительно отклоняющаяся от нормы осанка (слабовыраженное отклонение) 	<ul style="list-style-type: none"> •Незначительно отклоняющаяся от нормы осанка (напр., сторбленное, вытянутое, низкая осанка, положение хвоста, хвост Штрауба) •Пилоэрекция или птоз •неопрятный наружный покров 	<ul style="list-style-type: none"> •Умеренно отклоняющаяся от нормы осанка (напр., животное лежит на животе и не может встать) •Поверхностное дыхание 	<ul style="list-style-type: none"> •Значительно отклоняющаяся от нормы осанка (напр., животное лежит на боку) •Паралич лицевого нерва (напр., слюнотечение, высунутый язык) •Затрудненное дыхание
Тремор, гиперактивность, конвульсии	<ul style="list-style-type: none"> •Детектируемый тремор 	<ul style="list-style-type: none"> •Гиперотвечаемость на стимул to stimuli (напр., шум) •Значительный тремор 	<ul style="list-style-type: none"> •Незначительное количество или парциальные, подъем на задние лапы и падение как часть конвульсий 	<ul style="list-style-type: none"> •Повторяющиеся или судорожные приступы (бегущие, подпрыгивающие, клонические и/или тонические)

^a Нормальный оценивается как "0". Животных оценивали на индивидуальной основе

в последовательные моменты времени после дозирования. Наблюдение осуществляли через 1 ч±15 мин, затем через 24±2 ч, затем через 7 дней (при необходимости). Конвульсии подсчитывали для момента времени 1 ч, даже если они возникали до окна наблюдения. Балл общей переносимости рассчитывали на основе суммы баллов по отдельным категориям с максимально возможным баллом 20.

Сбор тканей. После окончательной оценки поведения и здоровья мышей обезглавливали на гильотине, и быстро удаляли мозг. Каждый мозг разделяли на два полушария и

а) гиппокамп рассекали для измерений мРНК в 3-дневных краткосрочных исследованиях переносимости;

б) гиппокамп, ствол мозга и полосатое тело из одного полушария иссекали для измерений мРНК, тогда как те же самые участки иссекали из второго полушария для измерений белка/ПК в ПК/PD исследованиях зависимости доза-ответ во времени.

В некоторых исследованиях кровь и спинномозговую жидкость (CSF) также собирали для измерений ПК (кровь) и ПК/белок (CSF). Для сбора крови и CSF мышей глубоко анестезировали изофлураном (4%). Кровь собирали путем пункции сердца с использованием иглы 23 калибра. После удаления кровь переносили в 2 мл пробирки BD Microtainer (K2EDTA BD #365974) и помещали на лед до обработки. Для обработки крови пробирки центрифугировали при 4500×g в течение 10 мин при 4°C. Затем плазму удаляли и помещали в 0,5 мл пробирки Эппендорфа и хранили при -80°C до использования. Для сбора CSF грудную полость открывали, обнажая сердце, и отбирали столько крови, сколько необходимо, чтобы избежать загрязнения CSF. Образцы CSF собирали из цистерны magna с использованием микропипеток и помещали в пробирки типа Эппендорф, Protein LoBind. Затем пробирки центрифугировали при 4500×g в течение 15 мин при 4°C. CSF осторожно переносили в чистые пробирки типа Эппендорф LoBind объемом 0,5 мл и хранили при -80°C до последующего использования.

Данные по яванскому макаку.

Субъект. Использовали самцов яванских макаков весом 3,5-10,0 кг в начале исследования. Каждому имплантировали интратекальный катетер для доступа к спинномозговой жидкости (CSF), путем введения на уровне позвонков L3 или L4. Дистальный кончик полиуретанового катетера проходил в интратекальном пространстве до приблизительно L1 позвонка. Проксимальный конец был соединен с подкожным портом доступа, расположенным в нижней части спины животного. Животных оставляли для заживления в течение по меньшей мере двух недель перед началом исследования. Уход за лабораторными животными осуществлялся в соответствии с Политикой общественного здравоохранения по вопросам гуманного ухода и использования лабораторных животных и Руководством по уходу и использованию лабораторных животных NRC (2011) (Национальный исследовательский совет: Руководство по уходу и использованию лабораторных животных (The National Academies Collection: Reports funded by National Institutes of Health). National Academies Press (US), Washington (DC)). Протокол был одобрен Wallingford Animal Care and Use Committee of the Bristol-Myers Squibb Company.

Взятие образцов CSF и крови: Доступ к порту CSF осуществлялся подкожно с использованием асептических методов, и взятие проб CSF проводили у бодрствующих животных, сидящих в вертикальном положении в кресле для удержания приматов. Приблизительно 0,1 мл CSF отбрасывали в начале сбора, чтобы очистить мертвое пространство в катетере и порте. CSF собирали посредством самотёка до максимума 0,5 мл CSF на образец. CSF вращали при 2000 г при 4°C в течение 10 мин. Супернатант замораживали на сухом льду или в жидком азоте и хранили при -90°C до анализа.

Пробы крови брали из доступной вены, обычно из подкожной вены. Образцы крови готовили в несколько процедур в зависимости от конкретного показателя. Для плазмы кровь собирали в пробирки, обработанные EDTA. Для сыворотки, кровь собирали в пробирки для отделения сыворотки и оставляли сворачиваться в течение по меньшей мере 30 мин перед центрифугированием. Для измерения свертывания и факторов свертывания кровь собирали в цитратные пробирки, а для анализа РНК кровь позже собирали в пробирки, содержащие РНК. После обработки образцы замораживали на сухом льду или в жидком азоте и хранили замороженными до анализа.

Интратекальное дозирование. Животных обучали дозированию во время бодрствования и с использованием модифицированных коммерчески доступных удерживающих кресел, животных поддерживали в положении лежа. Антисмысловые олигонуклеотиды (ASO), нацеленные на SNCA, растворяли в солевом растворе, стерилизовали фильтрацией и вводили со скоростью 0,33 мл/мин в объеме 1,0 мл с последующим промыванием 0,5 мл стерильной воды. Общее время инфузии составило 4,5 мин. Животные оставались в положении лежа в течение 30 мин после вливания.

Вскрытие. Яванским макакам вводили соответствующий объем коммерчески доступного раствора для эвтаназии под анестезией кетаминем и/или изофлураном. Сразу же после аутопсии получали ткани и мозг переносили на влажный лед для иссечения. Представляющие интерес участки иссекали, используя 4-6 мм срезы в ASI Cuno Brain Matrix, а также методы "свободной руки". Образцы помещали свежими в RNAlater® или замораживали на сухом льду для последующего анализа. Ткань CNS быстро иссекали у яванских макаков, и кусочки длиной не более 4 мм по любой оси собирали и помещали позже в 5 мл РНК.

Образцы хранили при 4°C в течение ночи, затем при -20°C для хранения до анализа.

Анализируемые области головного мозга включали медуллу, варолиев мост, средний мозг, мозжечок, дорсальный стриатум (слева и справа), гиппокамп (слева и справа), лобную кору (слева и справа), височную кору (слева и справа), теменную кору (слева и справа), затылочную кору (слева и справа) и корковое белое вещество. Кроме того, спинной мозг был взят из шейного, грудного и поясничного отделов. Образцы также были собраны из печени, почек и сердца. В некоторых случаях собирали образцы ядер тройничного нерва, большеберцового нерва и аорты для изучения нецелевой фармакологии в этих областях.

Количественное определение с помощью анализа ELISA концентрации ASO в мышинной или обезьяньей ткани, плазме и CSF.

Ткань гомогенизировали с плазмой и водой в соотношении 1:1. Стандартную кривую генерировали путем 2-кратного серийного разбавления от 5000 до 4,9 нМ в плазме (для плазмы и CSF) и в смеси плазма:вода (для образцов тканей), а затем дополнительно разбавляли до 5000-кратного разбавления с помощью взятого отдельно 5× SSCT (750 мМ NaCl и 75 мМ цитрата натрия, pH 7,0, содержащий 0,05% (об./об.) Твин-20) и в 5× SSCT, содержащем реагенты захвата при концентрации 35 нМ и реагенты для детекции при концентрации 35 нМ, чтобы получить стандартный диапазон 1-1000 пМ. Используемый коэффициент разбавления варьировался в зависимости от предполагаемого диапазона концентраций образца. Зонд захвата представлял собой AAAGGAA с 3' Biotin (Exiqon), и зонд для детекции представлял собой 5' DigN-изопропил 18 линкер--GTGTGGT (Exiqon).

Экспериментальные образцы и стандарты добавляли в буфер для лизиса Clarity (Phenomenex, номер по каталогу AL0-8579) в соотношении 1:1 перед разведением буфером для захвата и детекции и перед переносом на планшет для ELISA. Образцы CSF разбавляли плазмой (в 2 раза) перед добавлением буфера для лизиса. Планшет, покрытый стрептавидином (Thermo 15119), промывали 3 раза 5× SSCT-буфером. Добавляли 100 мкл образцов и инкубировали в течение 60 мин при комнатной температуре. Зонд для детекции, 100 мкл анти-Dig-AP Fab-фрагмента, разведенного 1: 4000 в PBS, содержащем 0,05% Твин-20 (Roche Applied Science, номер по каталогу 11093274910), добавляли и инкубировали в течение 60 мин при комнатной температуре. После промывания планшета 2× SSCT-буфером в течение 30 мин при комнатной температуре добавляли 100 мкл субстрата Tropix CDP-star Sapphire II (Applied Biosystems). Концентрации ASO измеряли с помощью люминесценции (Enspire-PerkinElmer).

Измерения белка альфа-синуклеина.

Образцы ткани мозга гомогенизировали при 10 мл/г ткани в буфере RIPA (50 мМ Трис-HCl, 150 мМ NaCl, 1% NP-40, 0,5% дезоксихолат натрия, 0,1% додецилсульфата натрия) с использованием шарикового гомогенизатора Qiagen Tissuelyser II в течение 25 циклов/с с шариком из нержавеющей стали 5 мм в течение 2 мин. Гомогенизированные образцы инкубировали 30 мин на льду. Аликвоты по 50 мкл каждого образца оставляли для анализа ПК. Оставшиеся образцы центрифугировали при 20800 г в течение 60 мин при 4°C. Супернатант сохраняли и использован для анализа. Общий белок измеряли с использованием набора для анализа белка Pierce BCA (23227).

Экстракты ткани мозга.

Белок SNCA измеряли с использованием ELISA MJFR1+4B12. Вкратце планшеты для ELISA (Costar) покрывали 100 мкл анти-SNCA-антитела MJFR1 (Abcam) в концентрации 0,1 мкг/мл, разведенной в ВурН карбонат-бикарбонатном буфере, pH 9,4 (Thermo Scientific) в течение ночи (O/N) при 4°C. На следующий день планшеты 4 раза промывали PBS Дульбекко (Life Technologies) и блокировали 3% BSA (бычий сывороточный альбумин, не содержащий протеазы, фракция V, Roche Diagnostic) в PBS в течение 2-3 ч при комнатной температуре (RT) или в течение ночи при 4°C. Как стандарты, так и образцы головного мозга разбавляли смесью 1% BSA/0,05% Tween/PBS, содержащим ингибитор протеазы Roche (Roche 11836145001, 1 гранула/25 мл) и ингибитор фосфатазы 2 и 3 (Sigma, 1:100). В качестве стандарта использовали SNCA дикого типа (rPeptide). Образцы загружали в двух повторах (50 мкл/лунку) и инкубировали в течение ночи (O/N) при 4°C. После уравнивания планшетоов до комнатной температуры в каждую лунку добавляли 50 мкл детектирующего антитела 4B12 (Biolegend) (разведенного 1:4000 в 1% BSA/0,1% Твин/DPBS) и совместно инкубировали с образцами при комнатной температуре в течение ~2 ч. Детектирующее антитело предварительно конъюгировали с щелочной фосфатазой (набор AP от Novus Biologicals). Затем планшеты 4 раза промывали 0,05% Tween/PBS и развивали с помощью 100 мкл субстрата щелочной фосфатазы (Tropix CDP Star Ready-to-Use with Sapphire II, T-2214, Life Technologies) в течение 30 мин. Интенсивность люминесценции измеряли с помощью Perkin Elmer EnVision (2102 Multilabel Reader). Планшеты постоянно встряхивали (шейкер Titer, скорость 3) во время анализа. Данные анализировали с использованием GraphPad Prism. Общий белок в ткани головного мозга измеряли с использованием набора Micro protein assay kit (ThermoFisher #23235) в соответствии с инструкциями производителя.

Спинальная жидкость (CSF). Белок SNCA измеряли с использованием набора U-PLEX Human SNCA Kit (номер по каталогу K151WKK-2, Meso Scale Discovery) в соответствии с инструкциями производителя. Образцы CSF разбавляли в 10 раз. Гемоглобин измеряли в образцах CSF с использованием

набора Abcam mouse Hemoglobin ELISA kit (ab157715). Образцы CSF разводили в 40 раз для измерения гемоглобина.

Измерения мРНК с помощью qRT-PCR.

Области мозга собирали и помещали в 1,5 мл пробирки RNA-later Tissue Protect tubes (Qiagen, номер по каталогу 76514), которые были предварительно заполнены RNA-later, раствором для стабилизации РНК. Ткань в растворе RNA-later может храниться при 4°C в течение 1 месяца или при -20 или -80°C в течение неопределенного времени.

Выделение РНК. RNeasy Plus Mini Kit: РНК из мышиноного гиппокампа и коры головного мозга изолировали с использованием набора RNeasy Plus Mini Kit (Qiagen, номер по каталогу 74134). Образцы ткани гомогенизировали в объеме 600 или 1200 мкл буфера RLT Plus, содержащего 10 мкл/мл 2-меркаптоэтанола и 0,5% реагента Dх. 600 мкл буфера для лизиса использовали, если образец ткани был <20 мг, 1200 мкл буфера для лизиса использовали для образцов ткани >20 мг. Для гомогенизации образец ткани переносили в 2,0 мл круглодонную пробирку Eppendorf Safe-Lock tube (Eppendorf, номер по каталогу 022600044), содержащую 600 мкл буфера RLT Plus Buffer (плюс 10 мкл/мл 2-меркаптоэтанола и 0,5% реагента Dх), и шарики из нержавеющей стали 5 мм (Qiagen, номер по каталогу 69989). Образцы гомогенизировали с использованием прибора Qiagen TissueLyser II. Образцы обрабатывали в течение 2,0 мин при 20 Гц, образцы вращали на 180° и обрабатывали в течение еще 2,0 мин при 20 Гц. Затем образцы обрабатывали 2,0 мин при 30 Гц, образцы вращали на 180° и обрабатывали еще 2,0 мин при 30 Гц. Гомогенизацию использовали дольше и/или при более высокой частоте, если обработка не была завершена. Затем 600 мкл лизата ткани переносили в спин-колонку gDNA Eliminator в 2,0 мл пробирке для сбора и образцы центрифугировали в течение 30 с при 10000g. Все этапы центрифугирования проводили при комнатной температуре. Проточный поток собирали и добавляли равный объем 70% этанола и перемешивали. В спин-колонку RNeasy переносили 600 мкл, помещенные в пробирку для сбора 2,0 мл, и образцы центрифугировали в течение 15 с при 10000 g. Поток отбрасывали, а оставшиеся 600 мкл образца добавляли в спин-колонку. Спин-колонки центрифугировали, а проточную часть отбрасывали. Колонки промывали 700 мкл промывочного буфера RW1, центрифугировали в течение 15 с при 10000g и проточную часть отбрасывали. Затем колонки промывали 2 раза 500 мкл буфера RPE, содержащего 4 объема этанола, как описано в протоколе набора. Колонки сначала центрифугировали в течение 15 с при 10000g для первой промывки, а затем в течение 2,0 мин при 10000g для второй промывки. После второй промывки колонки центрифугировали один раз в течение 1,0 мин при 10000g для сушки мембран. Колонки затем переносили в новую 1,5 мл пробирку для сбора и 30 мкл РНКазы без воды добавляли непосредственно к центру мембраны. Мембраны оставляли для инкубации в течение 10 мин при комнатной температуре. Затем колонки центрифугировали в течение 1,0 мин при 10000g для элюирования РНК. Элюат, содержащий РНК, собирали и хранили на льду до определения концентраций РНК с помощью УФ-поглощения с использованием спектрофотометра NanoDrop (Thermo). Образцы РНК хранили при -80°C.

Выделение РНК. Набор RNEASY® Plus Universal Mini Kit: РНК из всех других образцов тканей от яванского макака, мыши и крысы выделяли с помощью набора RNEASY® Plus Universal Mini Kit (Qiagen, номер по каталогу 73404). Для гомогенизации 50 мкг или менее образца ткани переносили в круглодонную пробирку Eppendorf с защелкой Safe-Lock объемом 2,0 мл (Eppendorf, номер по каталогу 022600044), содержащую 900 мкл реагента для лизиса QIAzol® и шарики из нержавеющей стали диаметром 5 мм (Qiagen, номер по каталогу 69989). Образцы гомогенизировали с помощью гомогенизатора TissueLyser II, Qiagen. Образцы обрабатывали в течение 2,0 мин при частоте 20 Гц, образцы поворачивали на 180° и обрабатывали в течение еще 2,0 мин при частоте 20 Гц. Затем образцы обрабатывали в течение 2,0 мин при частоте 30 Гц, образцы поворачивали на 180° и обрабатывали еще в течение 2,0 мин при 30 Гц. Гомогенизацию в течение более длительного времени и/или при более высокой частоте использовали, если обработка не завершалась. Затем гомогенизированный лизат ткани переносили в новую круглодонную пробирку Eppendorf с защелкой Safe-Lock объемом 2,0 мл и оставляли при комнатной температуре на 5,0 мин. В каждую пробирку добавляли 100 мкл раствора элиминатора гДНК и пробирки энергично встряхивали в течение 30 с. В каждую пробирку добавляли 180 мкл хлороформа (Sigma, номер по каталогу 496189) и пробирки энергично встряхивали в течение 30 с. Пробирки оставляли при комнатной температуре на 3 мин. Пробирки центрифугировали при 12000g в течение 15 мин при 4°C. После центрифугирования верхнюю водную фазу переносили в новую круглодонную пробирку Eppendorf с защелкой Safe-Lock объемом 2,0 мл, ~500 мкл. Добавляли равный объем 70% этанола и перемешивали. Все последующие стадии центрифугирования проводили при комнатной температуре. 500 мкл переносили в спин-колонку RNeasy, помещенную в собирательную пробирку объемом 2,0 мл, и образцы центрифугировали в течение 15 с при 10000g. Фильтрат отбрасывали и оставшиеся 500 мкл образца добавляли в спин-колонку. Спин-колонки центрифугировали, фильтрат отбрасывали и колонки промывали 700 мкл промывочного буфера Wash Buffer RWT, содержащего 2 объема этанола. Колонки центрифугировали в течение 15 с при 10000 g, фильтрат отбрасывали. Затем колонки дважды промывали 500 мкл буфера RPE, содержащего 4 объема этанола, как описано в протоколе набора. Колонки сначала центрифугировали в течение 15 с при 10000 g для первой промывки, а затем в течение 2,0 мин при 10000 g для второй про-

мывки. После второй промывки колонки центрифугировали один раз в течение 1,0 мин при 10000g для сушки мембран. Колонки затем переносили в новую собирательную пробирку объемом 1,5 мл и 30 мкл воды, не содержащей РНКазы, наносили непосредственно в центр мембраны. Мембраны оставляли для инкубации в течение 10 мин при комнатной температуре. Колонки центрифугировали в течение 1,0 мин при 10000 g для элюирования РНК. Элюаты, содержащие РНК, собирали и хранили на льду до определения концентрации РНК по УФ-поглощению с использованием спектрофотометра NanoDrop (Thermo). Образцы РНК хранили при -80°C.

Синтез кДНК с помощью обратной транскрипции. 300 нг РНК разводили до конечного объема 10,8 мкл, используя воду без нуклеаз (Invitrogen, номер по каталогу 10977-015), в микропланшете PCR-96-AB-C (Ахуген, номер по каталогу 321-65-051). В каждую лунку добавляли 6,0 мкл реакционной смеси 1, содержащей следующие компоненты: 2,0 мкл случайных декамеров при концентрации 50 мкМ (Ambion, номер по каталогу AM5722G) и 4,0 мкл 1× смеси dNTP (Invitrogen, номер по каталогу 10297-018). Планшет герметизировали оптической герметизирующей лентой (Applied Biosystems, номер по каталогу 4360954) и центрифугировали в течение 1,0 мин при 1000×g при комнатной температуре. Затем планшет нагревали в течение 3,0 мин при 70°C, используя 96-луночную систему Thermal Cycler GeneAmp PCR System 9700 (Applied Biosystems). Затем планшет полностью охлаждали на льду. Затем в каждую из лунок добавляли 3,25 мкл реакционной смеси 2 (содержащей 2 мкл 10× буфера для синтеза цепи кДНК, 1,0 мкл фермента обратной транскриптазы MMLV-RT 200 ед/мкл (Ambion, номер по каталогу 2044) и 0,25 мкл ингибитора РНКазы 40 ед/мкл (Ambion, номер по каталогу AM2682)). Планшет герметизировали оптической уплотнительной лентой и центрифугировали в течение 1,0 мин при 1000×g при комнатной температуре. Используя 96-луночный Thermal Cycler, планшет нагревали при 42°C в течение 60 мин, затем при 95°C в течение 10 мин. Затем планшеты охлаждали на льду. Планшеты с кДНК хранили при -20°C до готовности к использованию для анализа PCR.

qPCR для амплификации и количественного определения экспрессии мРНК SNCA и GAPDH: кДНК разводили в 5 раз в свободной от нуклеаз воде в микропланшете PCR-96-AB-C. 16 мкл раствора Master Mix, состоящего из следующего: 10 мкл Taqman Gene Expression Master Mix (Applied Biosystems, номер по каталогу 4369016), 1,0 мкл 20× набора праймеров-зондов Taqman (Applied Biosystems) и 5,0 мкл воды без нуклеаз добавляли в каждую лунку 384-луночного оптического планшета для PCR (Applied Biosystems, номер по каталогу 4483315). В каждую лунку 384-луночного оптического планшета для PCR добавляли 4,0 мкл разведенной кДНК. Планшет герметизировали оптической уплотнительной лентой и центрифугировали в течение 1,0 мин при 100×g при комнатной температуре. PCR выполняли на системе Applied Biosystems 700 HT Fast Real-Time PCR System с использованием следующих параметров в стандартном режиме: 50°C в течение 2,0 мин, 95°C в течение 10 мин, затем 40 циклов при 95°C в течение 15 с и 60°C в течение 1,0 мин.

Наборы праймеров-зондов для qRT-PCR. Наборы праймеров-зондов от фирмы Applied Biosystems (Thermo Fisher) включали следующее:

- 1) альфа-синуклеин человека (номер по каталогу Hs01103383_m1) с FAM-меткой;
- 2) PROS1 человека (номер по каталогу HS00165590_m1) с FAM-меткой;
- 3) Альфа-синуклеин яванского макака (номер по каталогу Mf02793033_m1) с FAM-меткой;
- 4) GAPDH яванского макака (номер по каталогу Mf04392546_g1) с FAM-меткой;
- 5) GAPDH яванского макака (номер по каталогу Mf04392546_g1) с VIC-меткой Primer Limited;
- 6) крысиный альфа-синуклеин (номер по каталогу Rn01425141_m1) с FAM-меткой;
- 7) крысиный GAPDH (номер по каталогу Rn01775763-g1) с FAM-меткой;
- 8) крысиный GAPDH (номер по каталогу 4352338E) с VIC-меткой Primer Limited;
- 9) мышинный GAPDH (номер по каталогу Mm99999915-g1) с FAM-меткой;
- 10) мышинный GAPDH (номер по каталогу 4352339E) с VIC-меткой Primer Limited.

Пример 8. Анализ активности *in vivo* и переносимости ASO-005459 у мышей.

ASO-005459 представляет собой LNA-модифицированный ASO, специфический в отношении человеческого SNCA. Результаты *in vitro* (описанные выше) демонстрируют, что ASO-005459 является мощным и селективным в отношении снижения уровня мРНК SNCA в первичных нейронах. Результаты *in vitro* также дают основание предположить, что ASO-005459 хорошо переносится.

Мыши A53T-РАС.

Чтобы оценить, являются ли эти результаты также действительными *in vivo*, 100 мкг ASO-005459 вводили мышам A53T-РАС посредством инъекции ICV, и оценивали переносимость и нокдаун (KD) мРНК SNCA в гиппокампе через 3 дня после инъекции, как описано в примере 4 (выше).

Как показано в табл. 6 и 7 (ниже), ASO-005459 хорошо переносился с общим средним показателем переносимости, равным 1. Кроме того, ASO-005459 значительно снижал уровни мРНК SNCA на >90% в гиппокампе через 3 дня после введения (фиг. 4).

Таблица 6

	Оценка токсичности @1D	3D мРНК %KD	Оценка токсичности @28D	Оценка токсичности WT @28D
ASO-005459	0.50	90.83		0.00

Таблица 7

Переносимость ASO-005459 у мышей A53T-PAС, 3-дневное исследование

Животное#	Гиперактивность	Бдительность	Двигательная сила и координация	Осанка/дыхание	Тремор/судороги	Общий балл
31	0	2	1	2	0	5
32	0	0	0	0	0	0
33	0	0	0	0	0	0
34	0	0	0	0	0	0
35	0	0	0	0	0	0
среднее						1.00
SEM						1.00

Для оценки активности *in vivo* мышей A53T-PAС дозировали ASO-005459 при концентрации 3,13, 12,5, 25 или 50 мкг посредством инъекции ICV. Переносимость оценивали путем измерения массы тела на 7 и 14 дни после дозирования. Экспрессию мРНК SNCA оценивали через 14 дней после дозирования, когда животных умерщвляли и собирали их ткани. Нокдаун мРНК SNCA измеряли в трех областях мозга: гиппокампе, стволе мозга и полосатом теле. Ствол мозга и полосатое тело являются двумя областями, которые являются наиболее пораженными в головном мозге у пациентов с MSA и PD. В отдельном исследовании мышей C57BL/6 дозировали 100 мкг ASO-005459 и переносимость оценивали путем измерения массы тела животных на 7, 14, 21 и 28 дни после дозирования. Мышам C57BL/6 дикого типа (WT) вводили ICV 100 мкг ASO-005459 и в течение 4-недельного периода контролировали массу тела и поведение. У этих животных не измеряли снижение экспрессии мРНК SNCA, поскольку ASO-005459 не нацелен на SNCA мыши.

Как показано на фиг. 5A и 5B, отсутствовали значительные различия в массе тела мышей (как мышей A53T-PAС, так и мышей C57BL/6), получавших ASO-005459 (для всех концентраций), и мышей, получавших контрольный носитель. Животные (C57BL/6) не проявляли какого-либо отклоняющегося от нормы поведения на протяжении эксперимента. См. табл. 8 (ниже). Такие результаты показывают, что ASO-005459 хорошо переносится. Кроме того, у мышей, получавших ASO-005459, наблюдалось значительное и дозозависимое снижение экспрессии мРНК SNCA во всех трех протестированных областях головного мозга. См. фиг. 6A-6C. В гиппокампе экспрессия мРНК SNCA была снижена на 53, 73, 80 и 96% для 3,13, 12,5, 25 и 50 мкг ASO-005459 соответственно. Схожие дозозависимые нокдауны также наблюдались в стволе мозга. В полосатом теле нокдауны мРНК SNCA были более вариабельными и менее устойчивыми по сравнению с другими областями (фиг. 6A-6C): 75 и 46% нокдаун наблюдался при 50 и 25 мкг ASO-005459 соответственно. Однако при использовании 12,5 и 3,13 мкг ASO-005459 не было значительного снижения экспрессии мРНК SNCA. Возможными объяснениями более низкой активности, наблюдаемой в полосатом теле, являются различия в уровнях ASO или кинетике нокдауна мРНК SNCA.

Таблица 8

Переносимость ASO-005459 в 28-дневном исследовании

Животное#	Временная точка (день)	Гиперактивность	Бдительность	Двиг. сила и коорд	Осанка/дыхание	Тремор/судороги	Общий балл
26	1	0	0	0	0	0	0
26	28	0	0	0	0	0	0
27	1	0	0	0	0	0	0
27	28	0	0	0	0	0	0
28	1	0	0	0	0	0	0
28	28	0	0	0	0	0	0
29	1	0	0	0	0	0	0
29	28	0	0	0	0	0	0
30	1	0	0	0	0	0	0
30	28	0	0	0	0	0	0

Уровни ASO-005459 измеряли во всех трех областях головного мозга мышей A53T-PAС. Как пока-

зано на фиг. 7 и в табл. 9 (ниже), воздействия на мозг были приблизительно пропорциональными дозе и схожими во всех трех областях, включая полосатое тело. Зависимости воздействие ASO-005459-ответ для разных областей головного мозга показаны на фиг. 8А-8D. Аналогичные зависимости воздействие-ответ наблюдались в гиппокампе и стволе мозга с оценочными значениями IC_{50} 179 и 206 нМ соответственно. Для сравнения, зависимость воздействие-ответ в полосатом теле была относительно крутой, что указывает на более медленную кинетику снижения уровня мРНК SNCA в этой области. См. фиг. 8С.

Таблица 9

Сводные данные по воздействию на головной мозг ASO-005459 в 14-дневном исследовании А53Т-РАС

	Доза (мкг)	Среднее (нМ)	SD	Относительно гиппокампа
Гиппокамп	3,13	214	43	
	12,5	411	140	
	25	600	223	
	50	1916	807	
Ствол мозга	3,13	160	47	0,7
	12,5	266	47	0,6
	25	440	102	0,7
	50	707	202	0,4
Полосатое тело	3,13	212	38	1,0
	12,5	438	103	1,1
	25	586	109	1,0
	50	1332	302	0,7

Для получения более обширных данных по зависимости доза-ответ/время ASO-005459 снова вводили (0, 12,5, 25 или 50 мкг) непосредственно в желудочки головного мозга мышей А53Т-РАС путем инъекции ICV методом "freehand". Животных умерщвляли через 24 ч, 3 дня, 4, 8, 12, 16 и 20 недель после дозирования и оценивали экспрессию мРНК SNCA в стволе мозга и полосатом теле.

Как показано на фиг. 9А и 9В (и в соответствии с данными, представленными выше), введение ASO-005459 мышам А53Т-РАС привело к значительному снижению уровня экспрессии мРНК SNCA (относительно контролей, получавших носитель) как в стволе мозга, так и в полосатом теле. Снижение, по-видимому, зависит как от времени, так и от дозы, при этом пиковое снижение (~90%) наблюдалось в стволе мозга при 50 мкг ASO-005459 примерно через 4 недели после дозирования (фиг. 9А). В полосатом теле пиковое снижение (~55%) наблюдалось при 50 мкг ASO-005459 примерно через 3 дня после дозирования (фиг. 9В). Уровни экспрессии мРНК SNCA оставались значительно сниженными по сравнению с контролями, получавшими носитель, через 4 недели после дозирования (фиг. 10А и 10В) и возвращались к исходному уровню примерно через 16 недель после дозирования (фиг. 9А и 9В).

Как показано на фиг. 11А и 11В, введение ASO-005459 животным также привело к зависящему от времени и дозы снижению уровня белка SNCA в мозговой ткани как ствола мозга, так и полосатого тела. Пиковое снижение (~75%) наблюдалось в стволе головного мозга при дозе 50 мкг через 8 недель после дозирования (фиг. 11А). Для мозговой ткани полосатого тела пиковое снижение (~75%) также наблюдалось при дозе 50 мкг, но через 4 недели после дозирования (фиг. 11В). Уровни экспрессии для индивидуальных мышей через 8 недель после дозирования представлены на фиг. 12А (ствол мозга) и фиг. 12В (полосатое тело). Хотя уровень белка SNCA вернулся близко к исходному уровню примерно через 12 недель после дозирования в полосатом теле, уровень экспрессии в стволе головного мозга все еще был значительно сниженным (~25%) вплоть до 16 недель после дозирования.

Пример 9. Анализ активности и переносимости *in vivo* антисмысловых олигонуклеотидов (ASO), нацеленных на SNCA, у яванских макаков.

Для дальнейшей оценки активности и переносимости ASO *in vivo* была разработана модель яванского макака с интратекальным портом (Супо IT). Эта модель позволяет оценить нокдаун SNCA, опосредованный ASO-005459, а также нокдаун потенциального несоответствия 1 пары оснований немишеней PROS1 и IKZF3. Сайты-мишени ASO-005459 в SNCA, PROS1 и IKZF3 являются полностью консервативными для человека и яванского макака.

Как описано выше в примере 6, каждому животному имплантировали интратекальный катетер для доступа к спинномозговой жидкости (CSF), вводимый на уровне позвонков L3 или L4. ASO-005459 растворяли в солевом растворе и вводили животным (8 мг/животное), вливали в течение 4,5 мин с использованием порта IT (2 животных на группу дозирования). Затем животных подвергали эвтаназии через 24 ч и 3 дня после дозирования, когда ткани собирали для анализа воздействия и активности ASO. Анализи-

руемые области мозга включали мозговое вещество (Med), варолиев мост (V-Pons), средний мозг (V-MB), мозжечок (CBL), дорсальный стриатум (слева и справа) (CauP), гиппокамп (слева и справа) (бедра), лобную кору (слева и справа) (FrC), височную кору (слева и справа) (TeC), теменную кору (слева и справа) (PaC), затылочную кору (слева и справа) (Occ) и корковое белое вещество (WM). Кроме того, спинной мозг брали из шейного (CSC), грудного (TSC) и поясничного (LSC) отделов. Образцы также собрали из печени, почек, сердца, ядер тройничного нерва, большеберцового нерва и аорты для изучения нецелевой фармакологии в этих областях.

Также, как наблюдалось у мышей, ASO-005459 хорошо переносился у яванского макака без каких-либо побочных эффектов (данные не показаны). И как показано в табл. 10 (ниже), введение ASO-005459 показало устойчивый нокдаун мРНК SNCA в различных областях головного мозга яванского макака.

Таблица 10

Эффект ASO-005459 на уровни мРНК SNCA в головном мозге яванского макака

ASO No.	Доза (мг)	Врем. точка (недели)	Med	CBL	FrC	PaC	CauP	TeC	Occ	Hip	V-MB	V-Pons	CSC	TSC	LSC	WM
ASO-005459	8	24 ч	174	140	146		149					137			73	
	8	24 ч	129	108	138		133					145			90	
	8	3 дня	162	69	69		112					62			19	
	8	3 дня	127	67	72		114					87			31	
	2	2	133	140	109		161					104			21	
	2	2	117	127	100		126					180			111	
	4	2	62	86	22		116					49			4	
	4	2	81	72	50		145					97			13	
	8	2	31	97	7		124					66			14	
	8	2	30	38	15	26	75	12	29	29	86	29	13	6	2	79
	8	4	26	50	4	12	53	3	13	9	24	21	4	6	4	87
	8	4	38	61	9		120					30			10	
	8	8	121	85	40		98					78			5	
	8	8	93	52	14		61					36			11	
	8	13	30	63	8		81					27			1	
	8	13	25	28	8		49					22			1	
	8	20	40	38	35		76					63			9	
	8	20	22	52	35		76					26			11	

Для дополнительной характеристики снижения мРНК SNCA, описанного выше, яванских макак дозировали ASO-005459 (всего 8 мг на животное) и умерщвляли через 24 ч, 3 дня, 2, 4, 8, 13 или 20 недель после дозирования для оценки уровня экспрессии мРНК SNCA в различных тканях. Как показано на фиг. 13А, максимальное снижение наблюдалось в период между 2 неделями и 13 неделями после дозирования. Максимальные снижения на 70, 65, 75, 35, 94 и 99% наблюдались в мозговом веществе, мозжечке, варолиевом мосте, дорсальном стриатуме, лобном и поясничном отделах спинного мозга, соответственно. Это снижение уровня экспрессии мРНК SNCA также коррелирует с зависимым от времени снижением уровня экспрессии белка SNCA (фиг. 13В).

Затем, чтобы оценить, зависело ли также снижение уровня экспрессии у яванских макак от дозы, животные получали 2, 4 или 8 мг ASO-005459 и затем были подвергнуты эвтаназии через 2 недели после дозирования. Как показано на фиг. 14А и 14В, снижение уровней экспрессии мРНК SNCA и белка SNCA также зависело от дозы, при этом наибольшее снижение наблюдалось при 8 мг ASO-005459.

Представленные в настоящем документе результаты демонстрируют, что ASO-005459 является сильным и селективным в отношении снижения мРНК SNCA и что ASO-005459 хорошо переносится в нейронах и в доклинических видах *in vivo*. Более того, результаты, полученные для нейронов A53T-РАС подтверждают, что ASO-005459-опосредованное снижение мРНК приводит к снижению уровней белка SNCA *in vitro* и *in vivo*. Кроме того, результаты, полученные на мышах A53T-РАС и яванских макаках, демонстрируют, что ASO-005459 снижает уровень мРНК SNCA и белка SNCA в мозге при дозах, которые хорошо переносятся. В совокупности эти результаты поддерживают продолжение разработки ASO-005459 в качестве модифицирующего заболевание терапевтического средства для лечения синуклеинопатий.

Эта заявка РСТ испрашивает приоритет предварительной заявки США 62/616937, поданной 12 января 2018 г., которая полностью включена в настоящий документ посредством ссылки.

Перечень последовательностей

- <110> БРИСТОЛ-МАЕРС СКВИВВ КОМПАНИ
РОШЕ ИННОВЕЙШН СЕНТЕР КОПЕНГАГЕН А/С
- <120> Антисмысловые олигонуклеотиды, нацеленные на альфа-синуклеин, и их применение
- <130> 3338.107PC01/ELE/C-K/DKC
- <150> 62/616, 937
- <151> 2018-01-12
- <160> 10
- <170> PatentIn version 3.5
- <210> 1
- <211> 2400
- <212> ДНК
- <213> Homo sapiens
- <400> 1
- gagataggggа сgaggagсac gctgcaggga aagcagcgag cgccgggaga ggggcgggca 60
- gaagcgctga caaatcagcg gtgggggсgг agagccgagg agaaggagaa ggaggaggac 120
- taggaggagg aggacggcga сgaccagaag gggccsaaga gagggggcga gсgaccgagc 180
- gccgсgacgc ggaagtgagg tgcgtgcggg ctgcagcgca gaccccggcc сggcccctcc 240
- gagagcgctcc tgggcgctcc ctcaсgсctt gccttcaagc cttctgcctt tccaccctcg 300
- tgagcgгgаgа actgggagtg gccattcgac gacaggttag сgggtttgcc tccactccc 360
- ссagcctcgc gtcgсcgгct cacagcgгcc tcctctgggg acagtcccc сgggtgсcg 420
- cctccgсcct tcctgtgcgc tccttttсct tcttctttcc tattaatat tatttgгgаа 480
- ttgtttaaat ttttttttta aaaaaagaga gaggcgggga ggagtcggag ttgtggagaa 540

gcagagggac tcaggttaagt acctgtggat ctaaacgggc gtctttggaa atcctggaga 600
acgccggatg ggagacgaat ggtcgtgggc accgggaggg ggtggtgctg ccatgaggac 660
ccgctgggcc aggtctctgg gaggtgagta cttgtccctt tggggagcct aaggaaagag 720
acttgacctg gctttcgtcc tgcttctgat attcccttct ccacaagggc tgagagatta 780
ggctgcttct ccgggatccg cttttccccg ggaaacgcga ggatgctcca tggagcgtga 840
gcatccaact tttctctcac ataaaatctg tctgcccgt ctcttggttt ttctctgtaa 900
agtaagcaag ctgctgttgg caaataatga aatggaagtg caaggaggcc aagtcaacag 960
gtggtaacgg gttaacaagt gctggcgcgg ggtccgctag ggtggaggct gagaacgcc 1020
cctcgggtgg ctggcgcggg gttggagacg gcccgcgagt gtgagcggcg cctgctcagg 1080
gtagatagct gagggcgggg gtggatggtg gatggattag aaccatcaca cttgggcctg 1140
ctgtttgcct gagtttgaac cacacccga gtgagcagtt agttctgttg cctacgcctt 1200
tccaccatca acctgttagc cttcttctgg gattcatggt aaggataccc ctgaccctaa 1260
gcctccagct tccatgcttc taactcatac tgttaccctt tagaccccgg gaatttaaaa 1320
aaggggttaa tcttttcatg caactccact tctgaaatgc agtaataaca actcagagga 1380
ttcatcctaa tccgtggtta ggtggctaga cttttactag ccaagatgga tgggagatgc 1440
taaattttta atgccagagc taaaaatgtc tgctttgtcc aatggttaaa tgagtgtaca 1500
cttaaaagag tctcacactt tggagggttt ctcatgattt ttcagtgttt tttgtttatt 1560
tttccccgaa agttctcatt caaagtgtat tttatgtttt ccagtgtggt gtaaaggaat 1620
tcattagcca tggatgtatt catgaaagga ctttcaaagg ccaaggaggg agttgtggct 1680
gctgctgaga aaaccaaaca ggggtgtggca gaagcagcag gaaagacaaa agaggggtgt 1740
ctctatgtag gtaggtaaac cccaaatgtc agtttgggtc ttgttcatga gtgatgggtt 1800
aggataatca atactctaaa tgctggtagt tctctctctt gattcatttt tgcacattg 1860
cttgtcaaaa aggtggactg agtcagaggt atgtgtaggt aggtgaatgt gaacgtgtgt 1920
atltgagcta atagtaaaaa atgcgactgt ttgcttttcc agatttttaa ttttgccta 1980
atatttatga ctttttaaaa atgaatgttt ctgtacctac ataattctat ttcagagaac 2040
agtttttaaaa actcatagtc ttttaaaaaa taatcaagaa tattcttaag aatcaaaatc 2100
attgatggat ctgtgatctt ttttaccatc atgaaaaatg tttgtcaatt ttaatccatt 2160
ctgatlttta aaatatgact ttgatatgcc cctgtgatgt gtataaagag acctatltgt 2220
ggccctaaaa tggaaagaac agattagtct ttgatagagt tacttcatgt gatcatttgg 2280
tctctgtgaa cactgaggac agagaaaagt gcttgagggc tgctactaat ctctcagaaa 2340
catttgtata gttcatccat caaatgacac acatactaaa agaataaaga aattgatgct 2400

<210> 2
 <211> 3215
 <212> ДНК
 <213> Homo sapiens

<400> 2

```

aggagaagga gaaggaggag gactaggagg aggaggacgg cgacgaccag aaggggcca      60
agagaggggg cgagcgaccg agcgccgcga cgcggaagtg aggtgcgtgc gggctgcagc      120
gcagaccccc gcccgcccc tccgagagcg tccctgggcgc tccctcacgc cttgccttca      180
agccttctgc ctttccacce tcgtgagcgg agaactggga gtggccattc gacgacagtg      240
tgggtgtaaag gaattcatta gccatggatg tattcatgaa aggactttca aaggccaagg      300
agggagtgtg ggctgctgct gagaaaacca aacaggggtg ggcagaagca gcaggaaaga      360
caaaagaggg tgttctctat gtaggctcca aaaccaagga gggagtgggtg catggtgtgg      420
caacagtggc tgagaagacc aaagagcaag tgacaaatgt tggaggagca gtggtgacgg      480
gtgtgacagc agtagcccag aagacagtgg agggagcagg gagcattgca gcagccactg      540
gctttgtcaa aaaggaccag ttgggcaaga atgaagaagg agccccacag gaaggaattc      600
tggaagatat gcctgtggat cctgacaatg aggcttatga aatgccttct gaggaaggg      660
atcaagacta cgaacctgaa gcctaagaaa tatctttgct cccagtttct tgagatctgc      720
tgacagatgt tccatcctgt acaagtgtc agttccaatg tgcccagtca tgacatttct      780
caaagttttt acagtgtatc tcgaagtctt ccatcagcag tgattgaagt atctgtacct      840
gccccactc agcatttcgg tgcttccctt tcaactgaagt gaatacatgg tagcagggtc      900
tttgtgtgct gtggattttg tggcttcaat ctacgatggt aaaacaaatt aaaaacacct      960
aagtgactac cacttatttc taaatcctca ctatTTTTTT gttgctggtg ttcagaagtt     1020
gttagtgatt tgctatcata tattataaga tttttagggtg tcttttaatg atactgtcta     1080
agaataatga cgtattgtga aatttgtaa tatatataat acttaaaaat atgtgagcat     1140
gaaactatgc acctataaat actaaatatg aaatTTTacc atTTTgcgat gtgttttatt     1200
cacttggtgtt tgtatataaa tggtgagaat taaaataaaa cgttatctca ttgcaaaaaat     1260
atTTTatTTT tatcccatct cactttaata ataaaaatca tgcttataag caacatgaat     1320
taagaactga cacaaaggac aaaaatataa agttattaat agccatttga agaaggagga     1380
atTTTagaag aggtagagaa aatggaacat taaccctaca ctcggaattc cctgaagcaa     1440
cactgccaga agtgtgtttt ggtatgcact ggttccttaa gtggctgtga ttaattattg     1500
aaagtggggg gttgaagacc ccaactacta ttgtagagtg gtctatTTTct ccttcaatc     1560
ctgtcaatgt ttgctttacg tattttgggg aactgttggt tgatgtgtat gtgtttataa     1620
ttgttataca tttttaattg agccttttat taacatatat tgttattttt gtctcgaaat     1680
  
```

aatttttttag ttaaaatcta ttttgtctga tattggtgtg aatgctgtac ctttctgaca 1740
ataaataata ttcgaccatg aataaaaaaa aaaaaaaagt gggttccccg gaactaagca 1800
gtgtagaaga tgatthttgac tacaccctcc ttagagagcc ataagacaca ttagcacata 1860
ttagcacatt caaggctctg agagaatgtg gtttaactttg ttttaactcag cattcctcac 1920
tttttttttt taatcatcag aaattctctc tctctctctc tctttttctc tcgctctctt 1980
tttttttttt tttttacagg aaatgccttt aaacatcggt ggaactacca gagtcacctt 2040
aaaggagatc aattctctag actgataaaa atttcatggc ctcttttaaa tgttgccaaa 2100
tatatgaatt ctaggatttt tccttaggaa aggtttttct ctttcaggga agatctatta 2160
actccccatg ggtgctgaaa ataaacttga tggtgaaaaa ctctgtataa attaatttaa 2220
aaattatthg gtttctcttt ttaattattc tggggcatag tcatttctaa aagtcactag 2280
tagaaagtat aatttcaaga cagaatattc tagacatgct agcagtttat atgtattcat 2340
gagtaatgtg atatatattg ggcgctgggt aggaaggaag gaggaatgag tgactataag 2400
gatggttacc atagaaactt ccttttttac ctaattgaag agagactact acagagtgct 2460
aagctgcatg tgtcatctta cactagagag aaatggtaag tttcttgtht tatttaagtt 2520
atgtttaagc aaggaaagga tttgttattg aacagtatat ttcaggaagg ttagaaagtg 2580
gcggttagga tatatthtaa atctacctaa agcagcatat tttaaaaatt taaaagtatt 2640
ggtatthaat taagaaatag aggacagaac tagactgata gcagtgcctt agaacaatth 2700
gagattagga aagttgtgac catgaattht aggatttatg tggatacaaa ttctccttht 2760
aagtgthtct tcccttaata tttatctgac ggtaatthtt gagcagtgaa ttactthtata 2820
tatcttaata gthttatthg gaccaaacac ttaaacaaaa agthctthta gtcataatag 2880
cctthttcagg aagcttgtct catattcaact cccgagacat tcacctgcca agtggcctga 2940
ggatcaatcc agtcctaggt ttatthtgca gacttacatt ctccaagtt attcagcctc 3000
atatgactcc acggctcggct ttaccaaaac agttcagagt gcactthtggc acacaattgg 3060
gaacagaaca atctaattgtg tggthtggta ttccaagtggt ggtctthttc agaatctctg 3120
cactagtgtg agatgcaaac atgthtctctc atctthctgg cttatccagt atgtagctat 3180
ttgtgacata ataaatatat acatatatga aaata 3215

<210> 3
<211> 140
<212> БЕЛОК
<213> Homo sapiens

<400> 3

Met Asp Val Phe Met Lys Gly Leu Ser Lys Ala Lys Glu Gly Val Val
1 5 10 15

Ala Ala Ala Glu Lys Thr Lys Gln Gly Val Ala Glu Ala Ala Gly Lys
 20 25 30

Thr Lys Glu Gly Val Leu Tyr Val Gly Ser Lys Thr Lys Glu Gly Val
 35 40 45

Val His Gly Val Ala Thr Val Ala Glu Lys Thr Lys Glu Gln Val Thr
 50 55 60

Asn Val Gly Gly Ala Val Val Thr Gly Val Thr Ala Val Ala Gln Lys
 65 70 75 80

Thr Val Glu Gly Ala Gly Ser Ile Ala Ala Ala Thr Gly Phe Val Lys
 85 90 95

Lys Asp Gln Leu Gly Lys Asn Glu Glu Gly Ala Pro Gln Glu Gly Ile
 100 105 110

Leu Glu Asp Met Pro Val Asp Pro Asp Asn Glu Ala Tyr Glu Met Pro
 115 120 125

Ser Glu Glu Gly Tyr Gln Asp Tyr Glu Pro Glu Ala
 130 135 140

<210> 4
 <211> 17
 <212> ДНК
 <213> Искусственная последовательность

<220>
 <223> Антисмысловой олигонуклеотид

<400> 4
 attcctttac accasac 17

<210> 5
 <211> 15
 <212> ДНК
 <213> Искусственная последовательность

<220>
 <223> Антисмысловой олигонуклеотид

<400> 5
 tctgtcttgg ctttg 15

<210> 6
 <211> 16
 <212> ДНК
 <213> Искусственная последовательность

<220>

<223>	Антисмысловой олигонуклеотид	
<400>	6	
	agaaataagt ggtagt	16
<210>	7	
<211>	20	
<212>	ДНК	
<213>	Искусственная последовательность	
<220>		
<223>	Антисмысловой олигонуклеотид	
<400>	7	
	ссааатсtta таатаасac	20
<210>	8	
<211>	16	
<212>	ДНК	
<213>	Искусственная последовательность	
<220>		
<223>	Антисмысловой олигонуклеотид	
<400>	8	
	ttcctttаса ссасас	16
<210>	9	
<211>	16	
<212>	ДНК	
<213>	Искусственная последовательность	
<220>		
<223>	Антисмысловой олигонуклеотид	
<400>	9	
	ggtgaggttt ggtaga	16
<210>	10	
<211>	18	
<212>	ДНК	
<213>	Искусственная последовательность	
<220>		
<223>	Антисмысловой олигонуклеотид	
<400>	10	
	ggtgaggttt ggtagaag	18

5

ФОРМУЛА ИЗОБРЕТЕНИЯ

1. Антисмысловой олигонуклеотид (ASO), содержащий или состоящий из непрерывной нуклеотидной последовательности AtGcstttacaccACAC (SEQ ID NO: 4), где заглавная буква представляет собой бета-D-окси-LNA, а строчная буква представляет собой ДНК.

2. ASO по п.1, который содержит межнуклеотидную связь, выбранную из группы, состоящей из фосфодиэфирной связи, фосфотриэфирной связи, метилфосонатной связи, фосфорамидатной связи, фос-

форотиоатной связи и их комбинаций.

3. ASO по п.1, в котором непрерывная нуклеотидная последовательность представляет собой OxyAs DNAts OxyTs DNAcS DNAcS DNAts DNAts DNAts DNAAs DNAcS DNAAs DNAcS DNAcS OxyAs OxyMCs OxyAs OxyMC, где OxyA, OxyT и OxyMC представляют собой аденин бета-D-окси-LNA, тимин бета-D-окси-LNA и метилцитозин бета-D-окси-LNA соответственно, где DNAt, DNAc и DNAa представляют собой тимин ДНК, цитозин ДНК и аденин ДНК соответственно и где s представляет собой фосфоротиоатную связь между двумя нуклеотидами.

4. ASO по любому из пп.1-3, имеющий молекулярную формулу $C_{171}H_{214}N_{56}O_{90}P_{16}S_{16}$ и структуру, показанную на фиг. 1B, где M^+ представляет собой противоион.

5. ASO по п.4, где противоион выбран из группы, состоящей из H^+ , Na^+ , NH_4^+ и любой их комбинации.

6. ASO по любому из пп.1-5, где ASO ковалентно связан по меньшей мере с одним ненуклеотидным или неполинуклеотидным фрагментом.

7. ASO по п.6, где ненуклеотидный или неполинуклеотидный фрагмент содержит белок, цепь жирной кислоты, остаток сахара, гликопротеин, полимер или любые их комбинации.

8. Фармацевтическая композиция, содержащая ASO по любому из пп.1-7 и фармацевтически приемлемый носитель.

9. Композиция по п.8, которая дополнительно содержит терапевтическое средство.

10. Композиция по п.9, где терапевтическое средство представляет собой антагонист альфа-синуклеина.

11. Набор, содержащий ASO по любому из пп.1-8 или композицию по любому из пп.8-10 и инструкции по применению.

12. Способ ингибирования или снижения экспрессии белка SNCA в клетке, при этом способ включает контактирование клетки, экспрессирующей белок SNCA, с ASO по любому из пп.1-7 или композицией по любому из пп.8-10, причем экспрессия белка SNCA в клетке ингибируется или уменьшается после контактирования.

13. Способ по п.12, в котором ASO ингибирует или снижает экспрессию мРНК SNCA в клетке после контактирования.

14. Способ по п.12 или 13, в котором экспрессия мРНК SNCA снижается по меньшей мере примерно на 20%, по меньшей мере примерно на 30%, по меньшей мере примерно на 40%, по меньшей мере примерно на 50%, по меньшей мере примерно на 60%, по меньшей мере примерно на 70%, по меньшей мере примерно на 80%, по меньшей мере примерно на 90% или примерно на 100% после контактирования по сравнению с клеткой, не подвергшейся воздействию ASO.

15. Способ по любому из пп.12-14, в котором ASO снижает экспрессию белка SNCA в клетке после контактирования по меньшей мере примерно на 60%, по меньшей мере примерно на 70%, по меньшей мере примерно на 80% или по меньшей мере примерно на 90% по сравнению с клеткой, не подвергшейся воздействию ASO.

16. Способ по любому из пп.12-15, в котором клетка представляет собой нейрон.

17. Способ лечения синуклеинопатии у субъекта, нуждающегося в этом, включающий введение эффективного количества ASO по любому из пп.1-7 или композиции по любому из пп.8-10 субъекту.

18. Способ по п.17, где субъект является человеком и где синуклеинопатия выбрана из группы, состоящей из болезни Паркинсона, деменции при болезни Паркинсона (PDD), множественной системной атрофии, деменции с тельцами Леви и любых их комбинаций.

19. Применение ASO по любому из пп.1-7 для лечения синуклеинопатии у субъекта, нуждающегося в этом.

20. Применение по п.19, где субъект является человеком и где синуклеинопатия выбрана из группы, состоящей из болезни Паркинсона, деменции при болезни Паркинсона (PDD), множественной системной атрофии, деменции с тельцами Леви и любых их комбинаций.

21. Применение композиции по любому из пп.8-10 для лечения синуклеинопатии у субъекта, нуждающегося в этом.

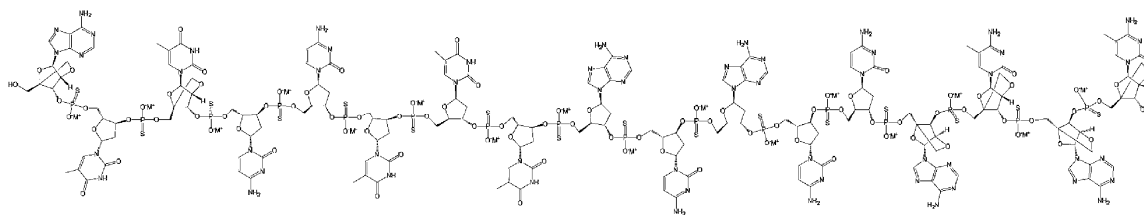
22. Применение композиции по п.21, где субъект является человеком и где синуклеинопатия выбрана из группы, состоящей из болезни Паркинсона, деменции при болезни Паркинсона (PDD), множественной системной атрофии, деменции с тельцами Леви и любых их комбинаций.

ASO-005459

<p>OxyAs DNAts OxyTs DNAcS DNAcS DNAts DNAts DNAts DNAAs DNAcS DNAAs DNAcS DNAcS OxyAs OxyMCs OxyAs OxyMC SEQ ID NO: 4</p>
--

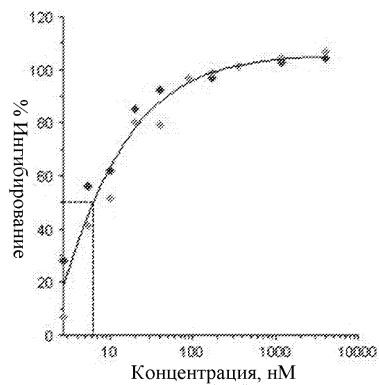
Фиг. 1A

043828



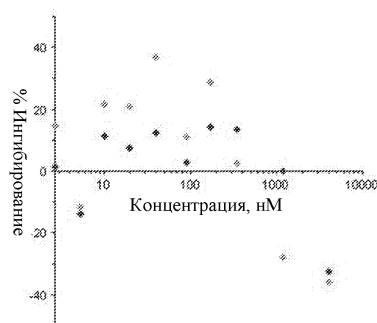
Фиг. 1В

aSyn/Tub



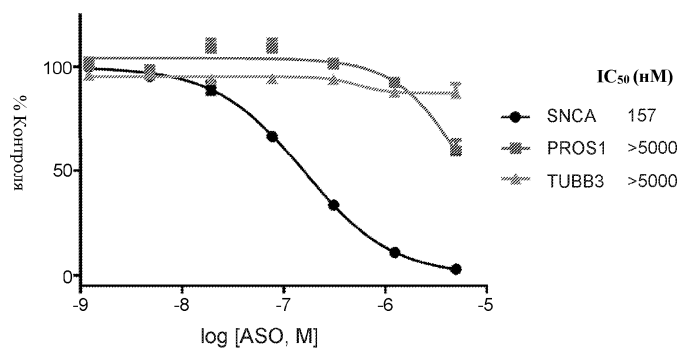
Фиг. 2А

Tub



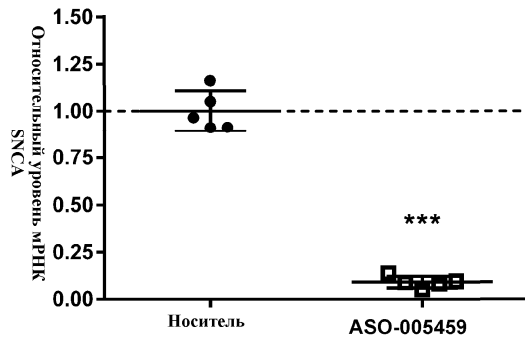
Фиг. 2В

ASO-005459



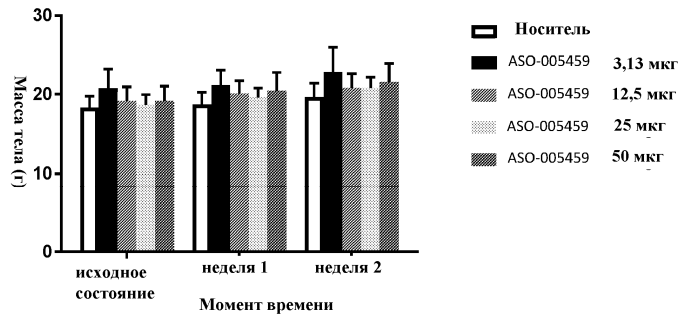
Фиг. 3

3-Дневное исследование
переносимости в гиппокампе



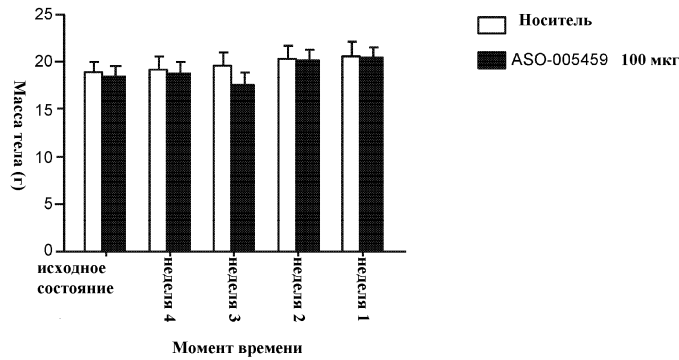
Фиг. 4

14-Дневное исследование зависимости
эффекта от дозы
Масса тела



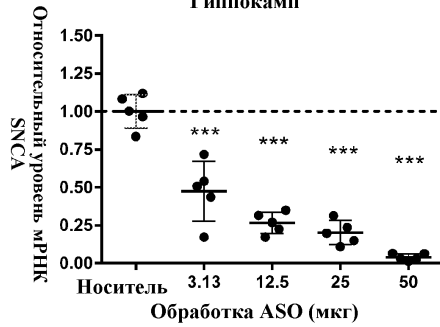
Фиг. 5А

28-Дневное исследование
Масса тела

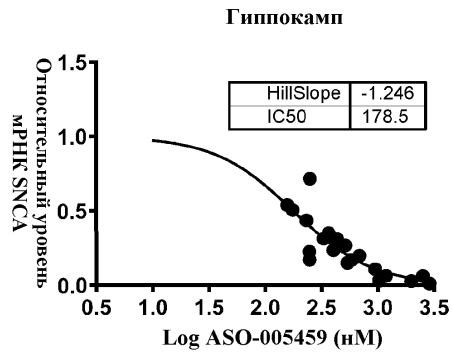
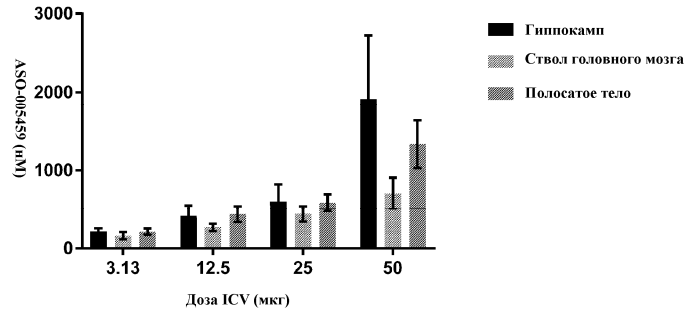
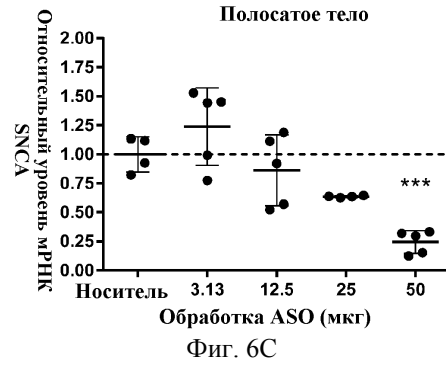
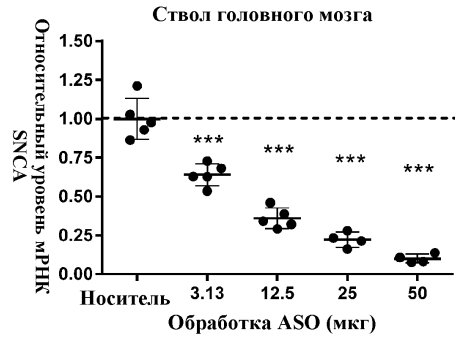


Фиг. 5В

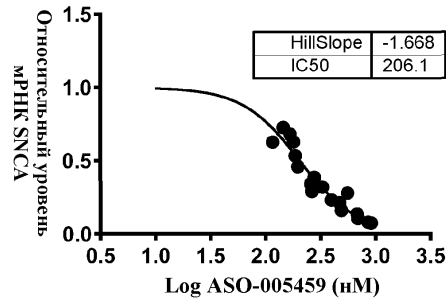
Гиппокамп



Фиг. 6А

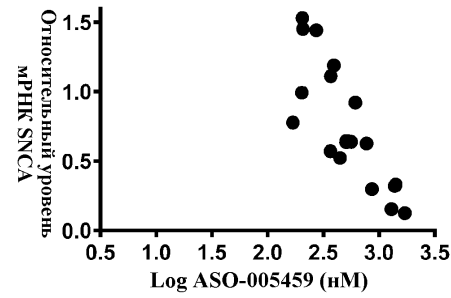


Ствол головного мозга



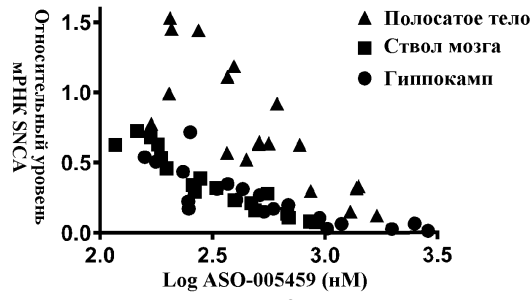
Фиг. 8B

Полосатое тело



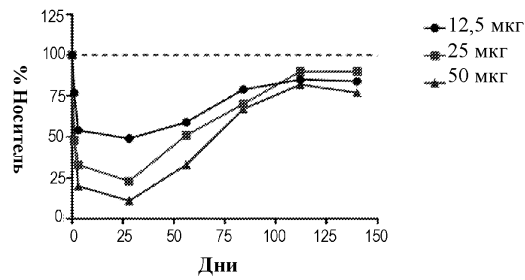
Фиг. 8C

Объединенный график

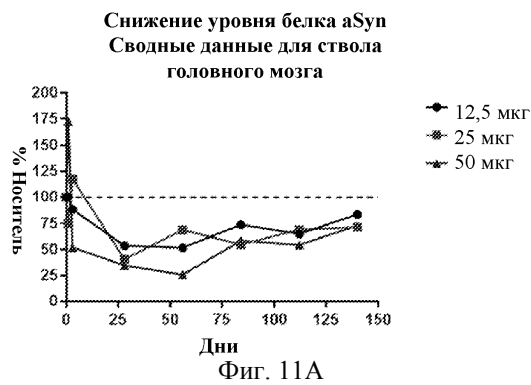
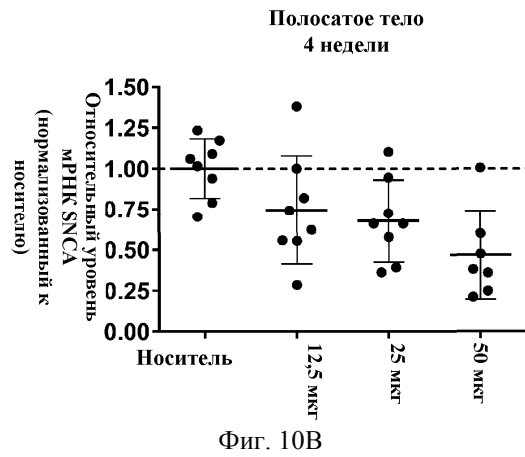
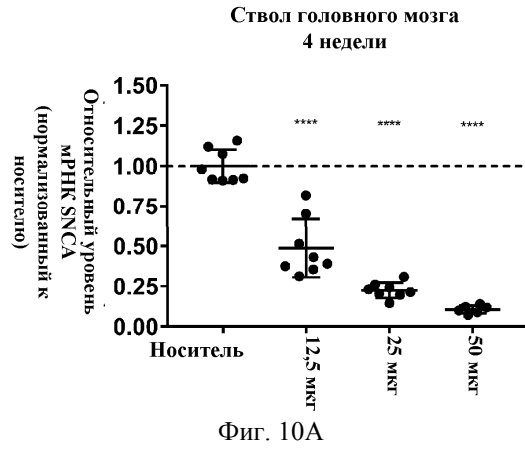
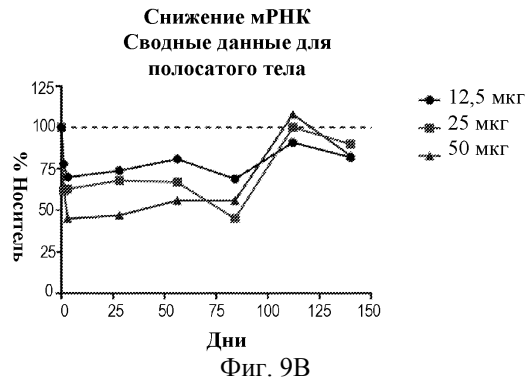


Фиг. 8D

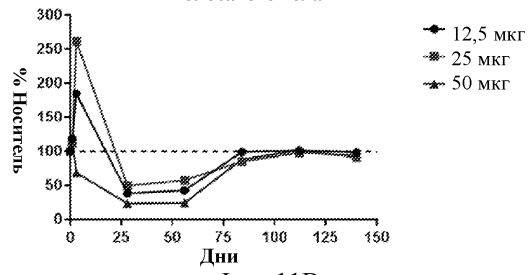
Снижение мРНК
Сводные данные для
ствола головного мозга



Фиг. 9A

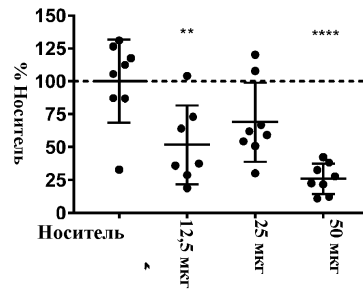


Снижение уровня белка α Syn
Сводные данные для
полосатого тела



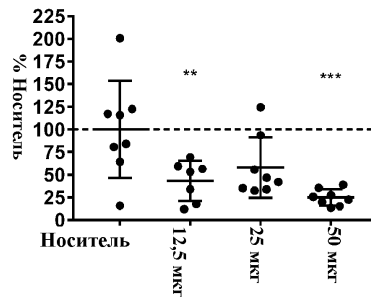
Фиг. 11В

Ствол головного мозга
8 недель

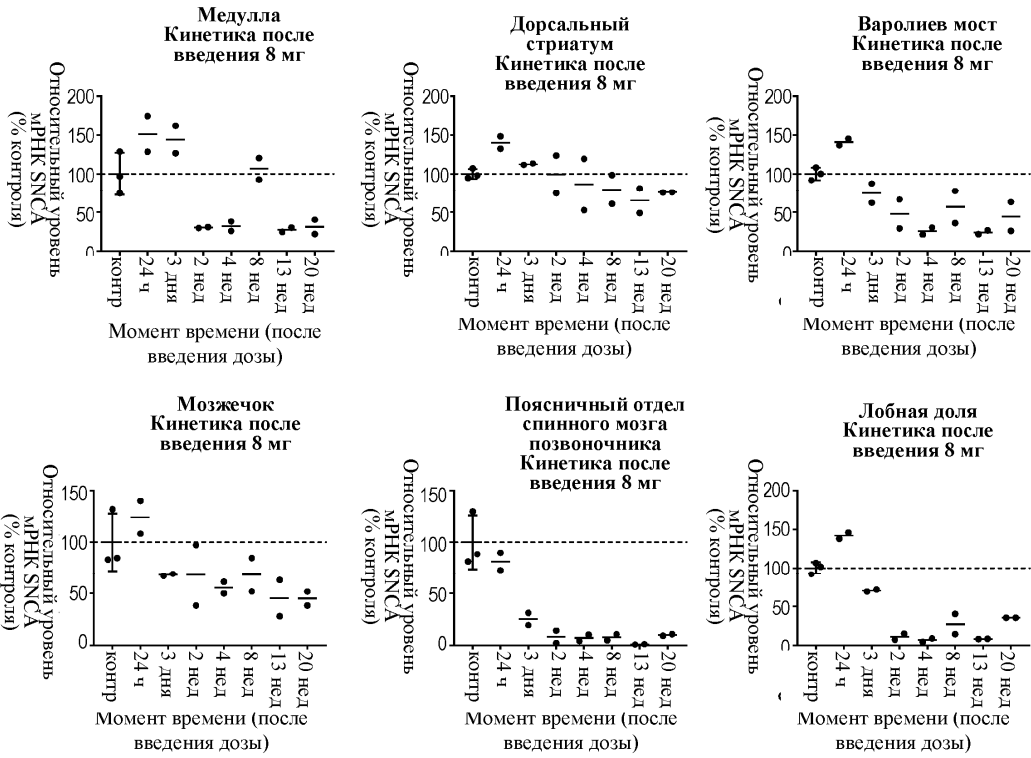


Фиг. 12А

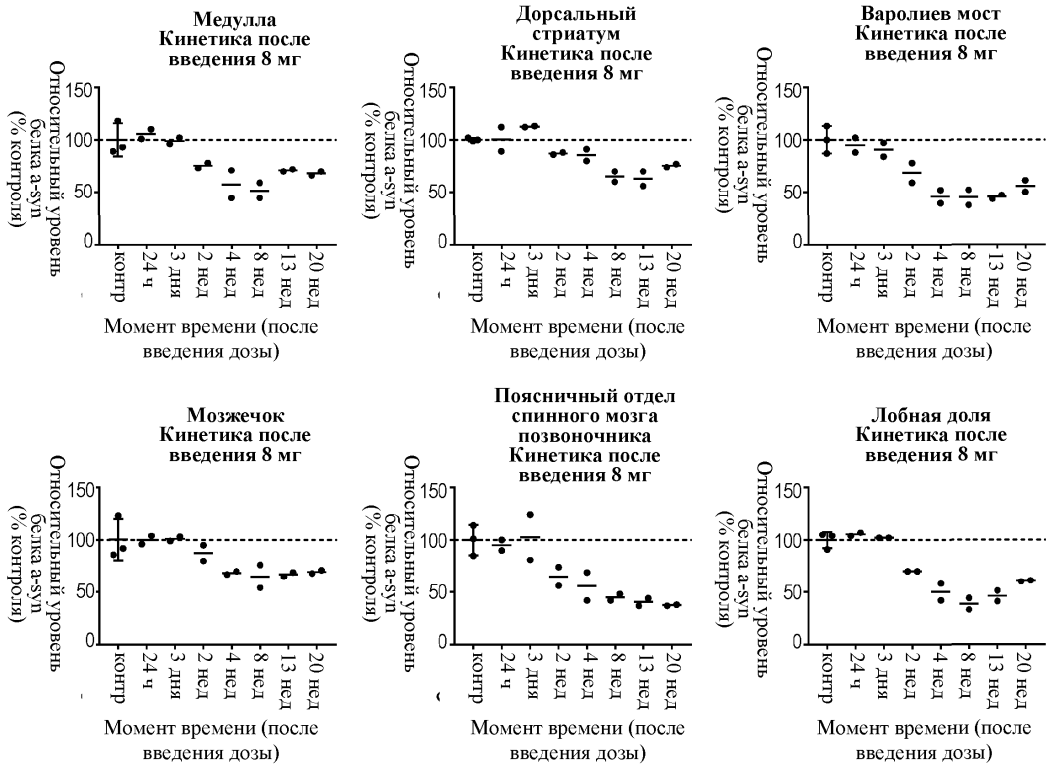
Полосатое тело
8 недель



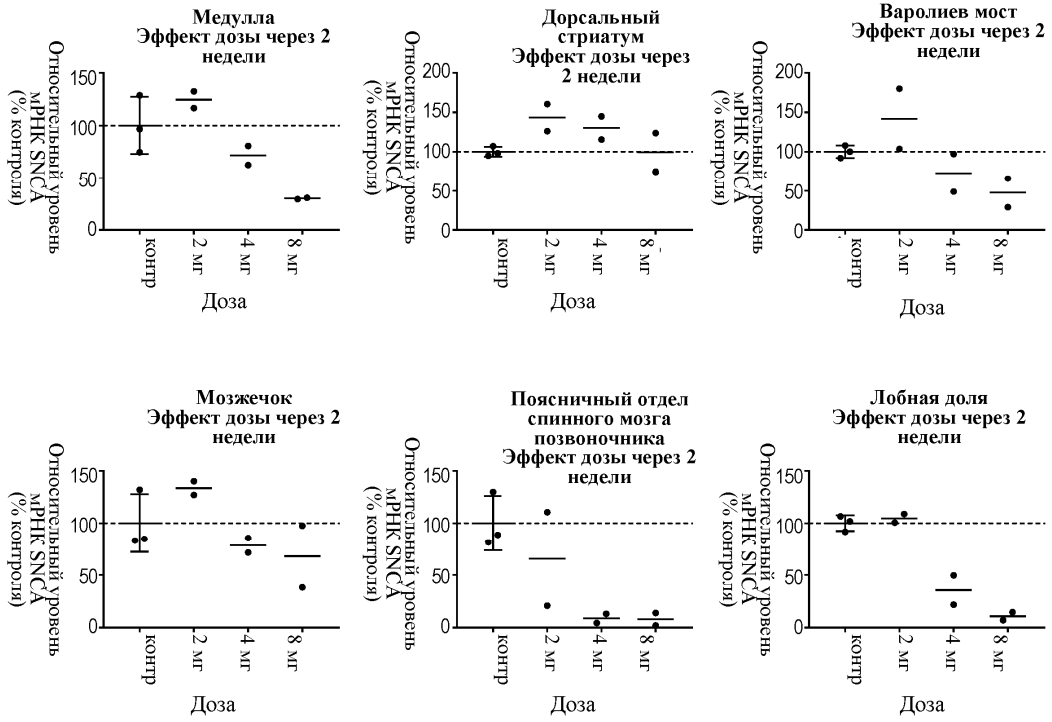
Фиг. 12В



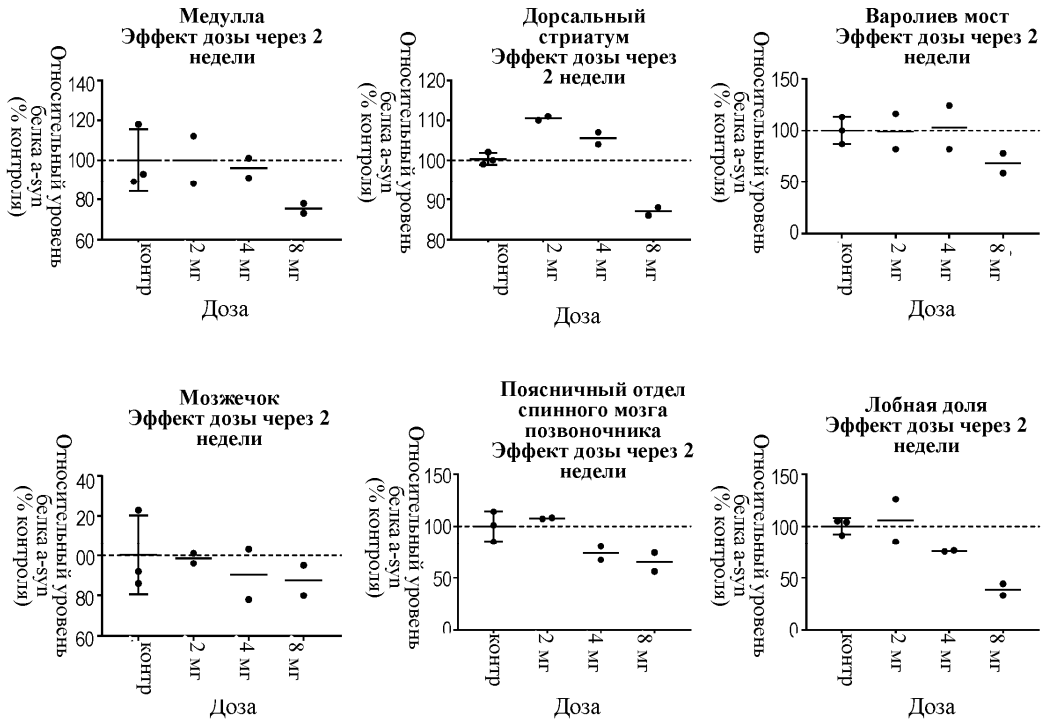
Фиг. 13А



Фиг. 13В



Фиг. 14А



Фиг. 14В

